

A-D変換器とD-A変換器

現実の世界と理想の世界

A-D変換器とD-A変換器の概要

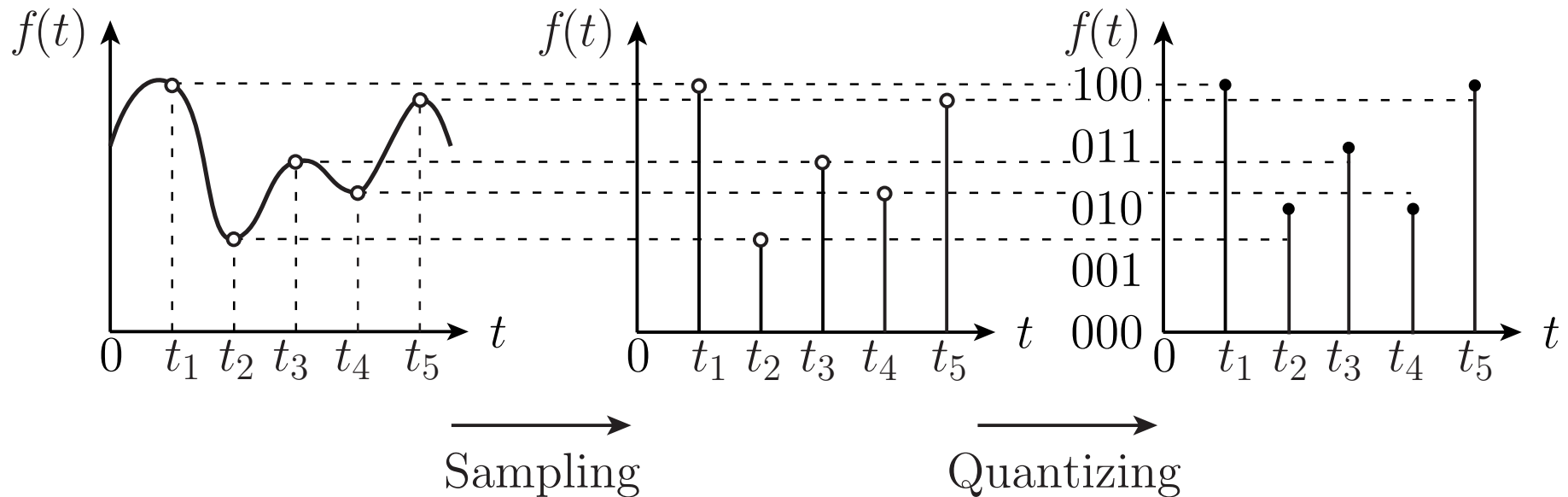
アナログ信号: 連続振幅 (連続時間)

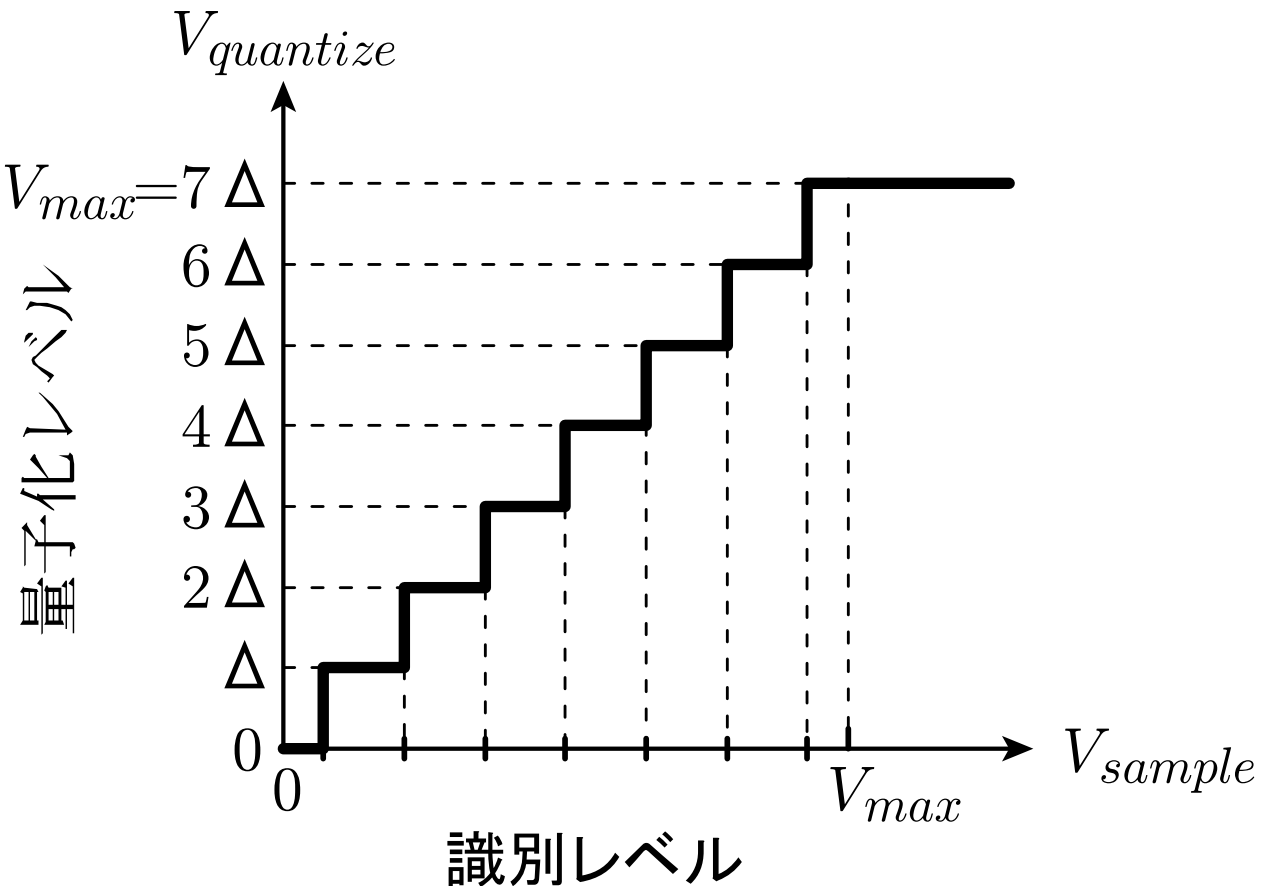
デジタル信号: 離散時間, 離散振幅 (0, 1の数値列)

標本化

量子化

符号化





V_{sample} : 標本化したアナログ信号

$V_{quantize}$: V_{sample} を量子化した信号

Δ : 量子化ステップ

V_{max} : フルスケール

$$\Delta = \frac{V_{max}}{2^n - 1}$$

$$V_{quantize} = (b_n \times 2^{n-1} + b_{n-1} \times 2^{n-2} + \dots + b_2 \times 2 + b_1) \Delta$$

$V_{quantize} \rightarrow b_n b_{n-1} \dots b_2 b_1$: 2進数表示(符号化の1種)

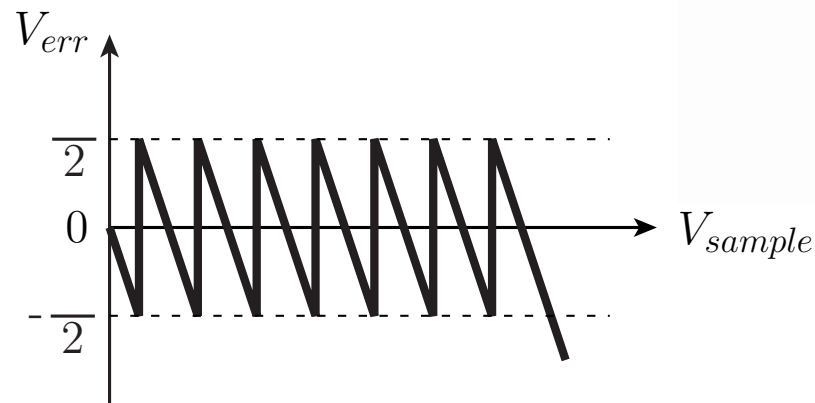
nビットのデジタル信号

b_n : Most Significant Bit (MSB)

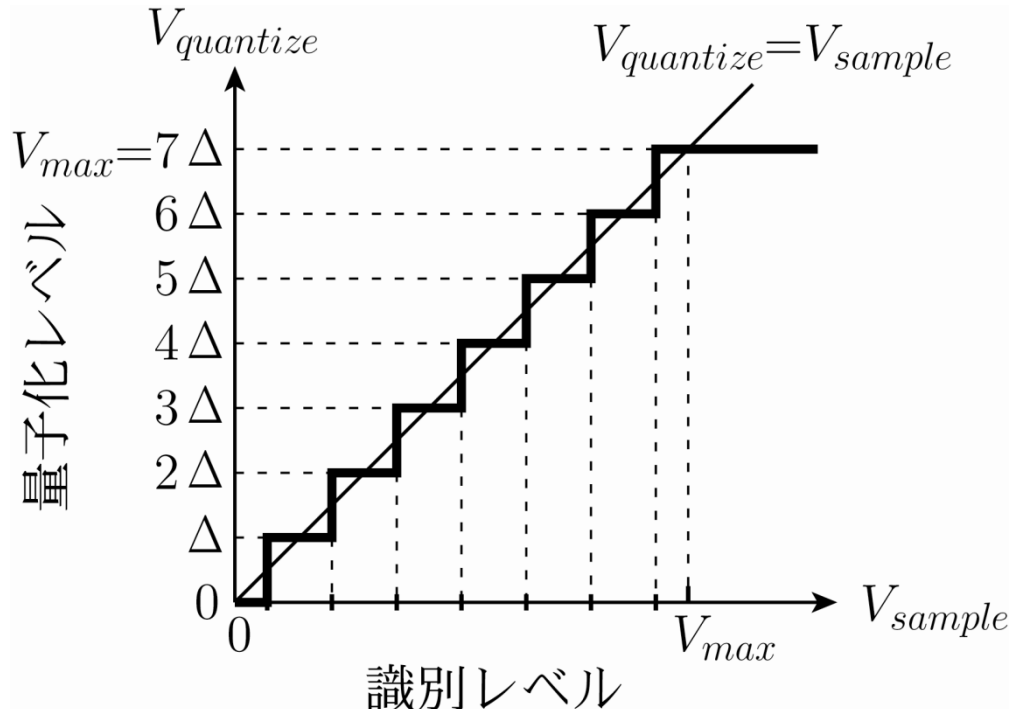
b_1 : Least Significant Bit (LSB) $(\Delta=1\text{ LSB})$

変換器の評価

量子化雑音



$$p(V_{err}) = \frac{1}{\Delta} \quad \left(\left| V_{err} \right| < \frac{\Delta}{2} \right)$$



$$P_N = \int_{-\Delta/2}^{\Delta/2} p(V_{err}) V_{err}^2 dV_{err}$$

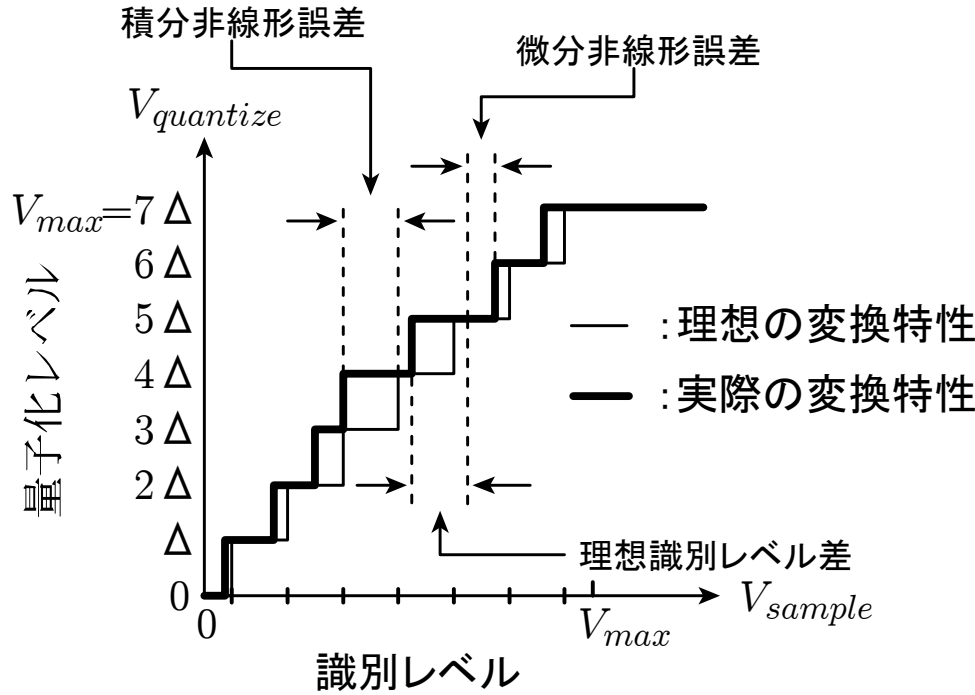
$$= \frac{1}{\Delta} \int_{-\Delta/2}^{\Delta/2} V_{err}^2 dV_{err}$$

$$= \frac{\Delta^2}{12}$$

信号電力

$$P_S = \frac{1}{T} \int_0^T \left\{ \frac{V_{max}}{2} \sin\left(2\pi \frac{t}{T}\right) \right\}^2 dt = \frac{1}{T} \int_0^T \frac{V_{max}^2}{4} \cdot \frac{1 - \cos\left(4\pi \frac{t}{T}\right)}{2} dt$$
$$= \frac{V_{max}^2}{8} \quad \left(\Delta = \frac{V_{max}}{2^n - 1} \right)$$

$$SNR_{max} = 10 \log \frac{P_S}{P_N} = 10 \log \frac{\frac{(2^n - 1)\Delta^2}{8}}{\Delta^2} = 10 \log \left\{ \frac{3}{2} (2^n - 1)^2 \right\}$$
$$= 10 \log \frac{3}{2} + 10 \log (2^n - 1)^2 \approx 10 \log \frac{3}{2} + 10 \log 2^{2n}$$
$$\approx 10 \log \frac{3}{2} + 20n \log 2 \approx 6.02n + 1.76 \text{ dB}$$



静的特性

積分線形性

微分線形性

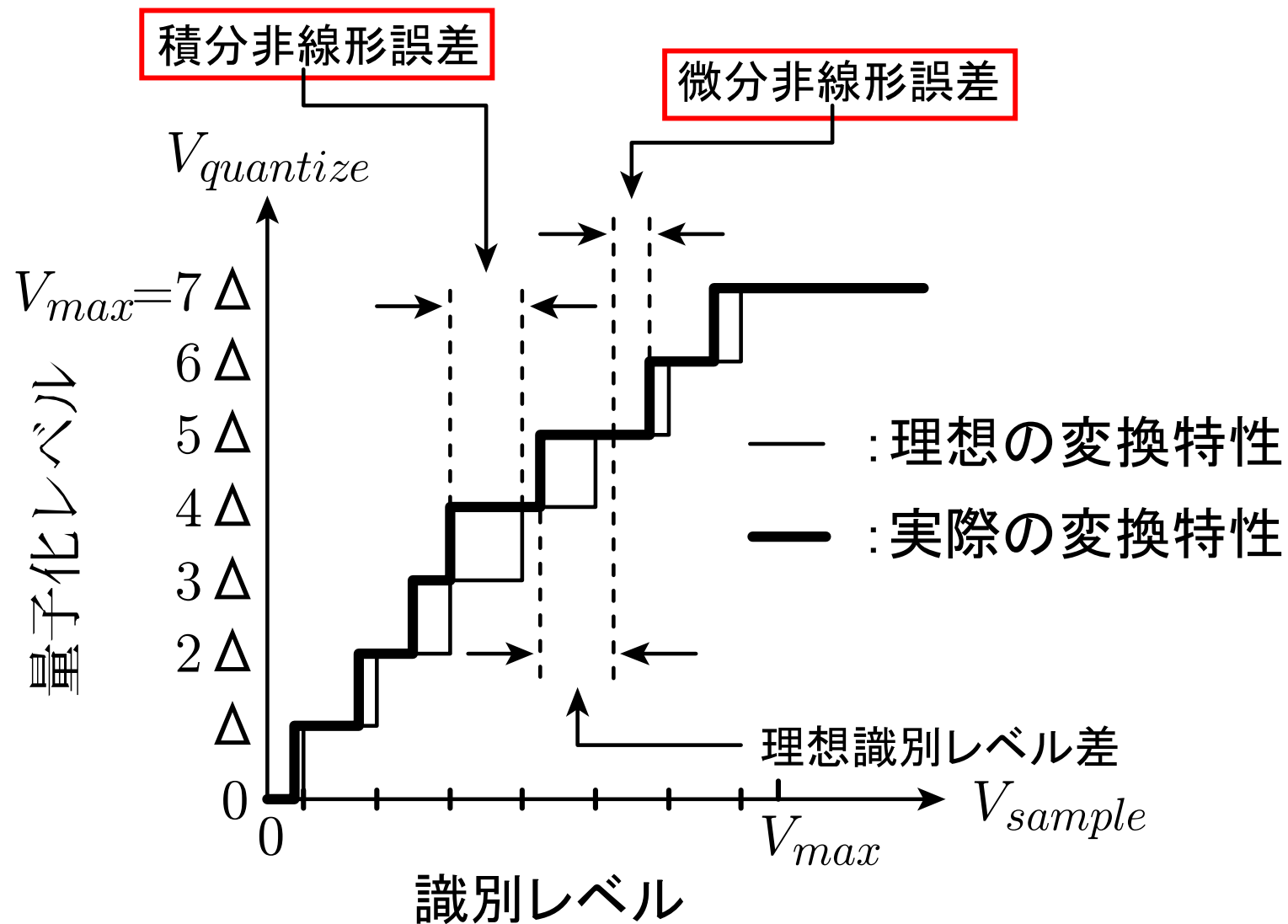
単調性

利得誤差

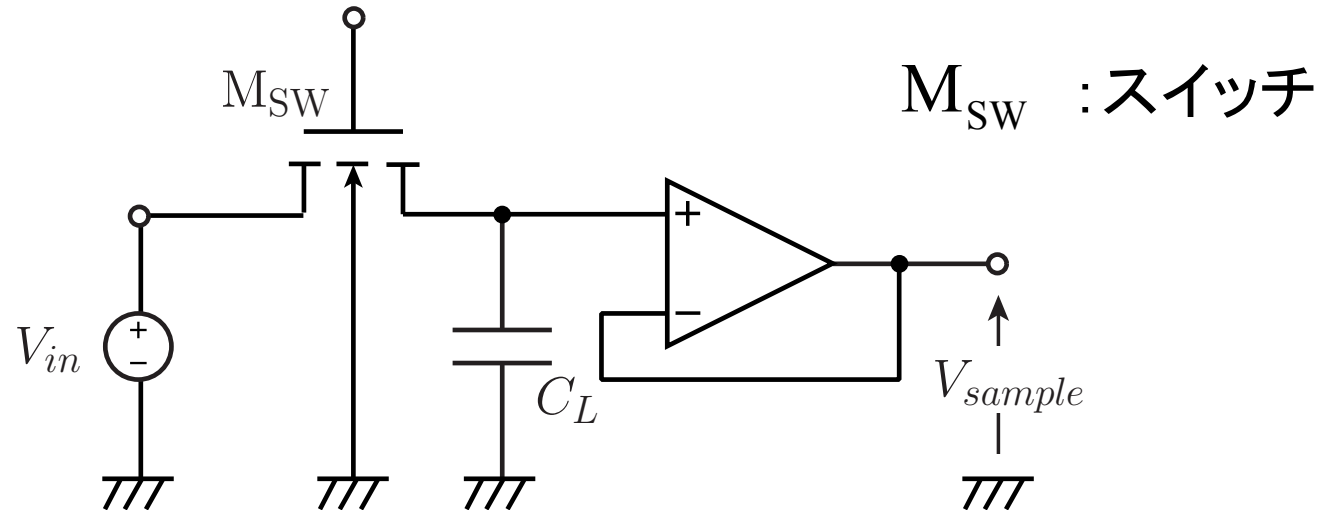
オフセット

動的特性

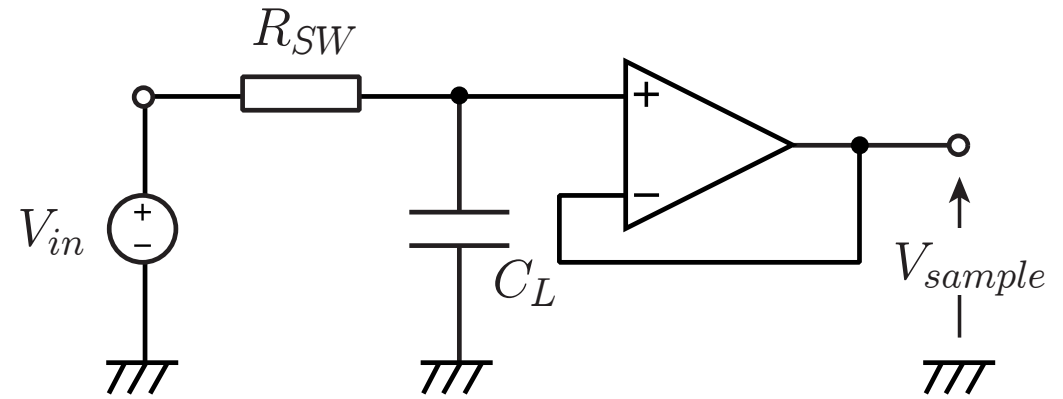
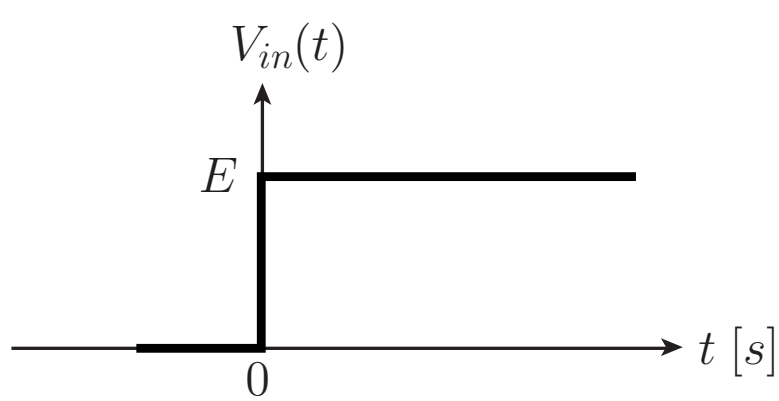
変換速度(セトリングタイム)



標本化回路の構成



M_{SW}の等価抵抗 : R_{SW}



$$\frac{V_{in} - V_{sample}}{R_{SW}} = C_L \frac{dV_{sample}}{dt}$$

$t \geq 0$ のとき

$$\frac{E}{C_L R_{SW}} = \frac{dV_{sample}}{dt} + \frac{V_{sample}}{C_L R_{SW}}$$

V_{sample} の特殊解は

$$V_{sample} = E$$

$$\frac{dV_{sample}}{dt} + \frac{V_{sample}}{C_L R_{SW}} = 0 \text{ の一般解は}$$

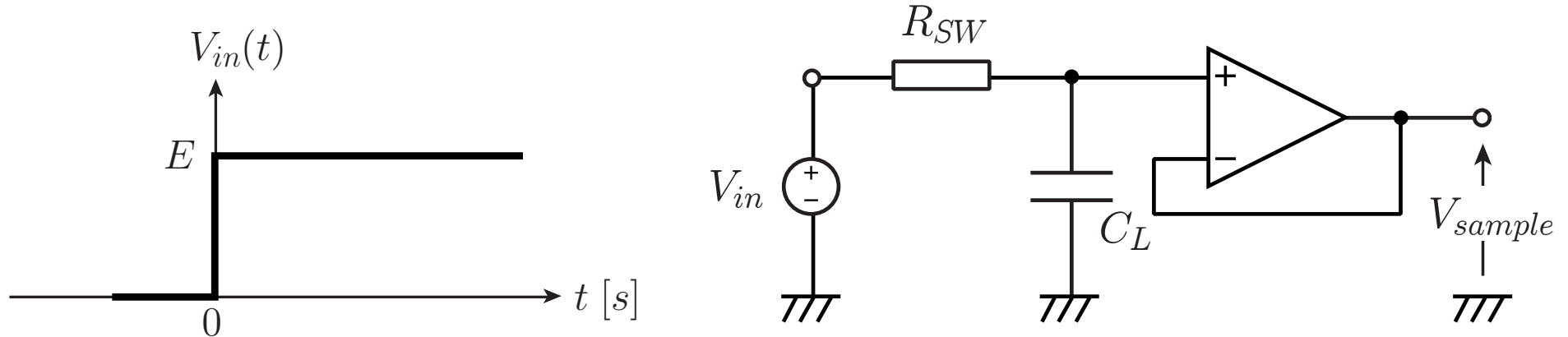
$$V_{sample} = \pm A \exp\left(\frac{-t}{C_L R_{SW}}\right) \quad \text{ただし, } A \text{ は正の定数}$$

したがって, V_{sample} は

$$V_{sample} = E \pm A \exp\left(\frac{-t}{C_L R_{SW}}\right)$$

$t=0$ のとき C_L に蓄えられている電荷を零と仮定

$$V_{sample} = E \left\{ 1 - \exp\left(\frac{-t}{C_L R_{SW}}\right) \right\}$$



$$V_{sample} = E \left\{ 1 - \exp\left(\frac{-t}{C_L R_{SW}}\right) \right\} \text{ なので}$$

t_{hold} 秒後の V_{sample}

$$V_{sample} = \left\{ 1 - \exp\left(\frac{-t_{hold}}{C_L R_{SW}}\right) \right\} E$$

$t_{hold} \gg C_L R_{SW} \rightarrow V_{sample} \approx V_{in}$

$$t_{hold} >> C_L R_{SW}$$

C_L : 寄生容量により定まる下限値

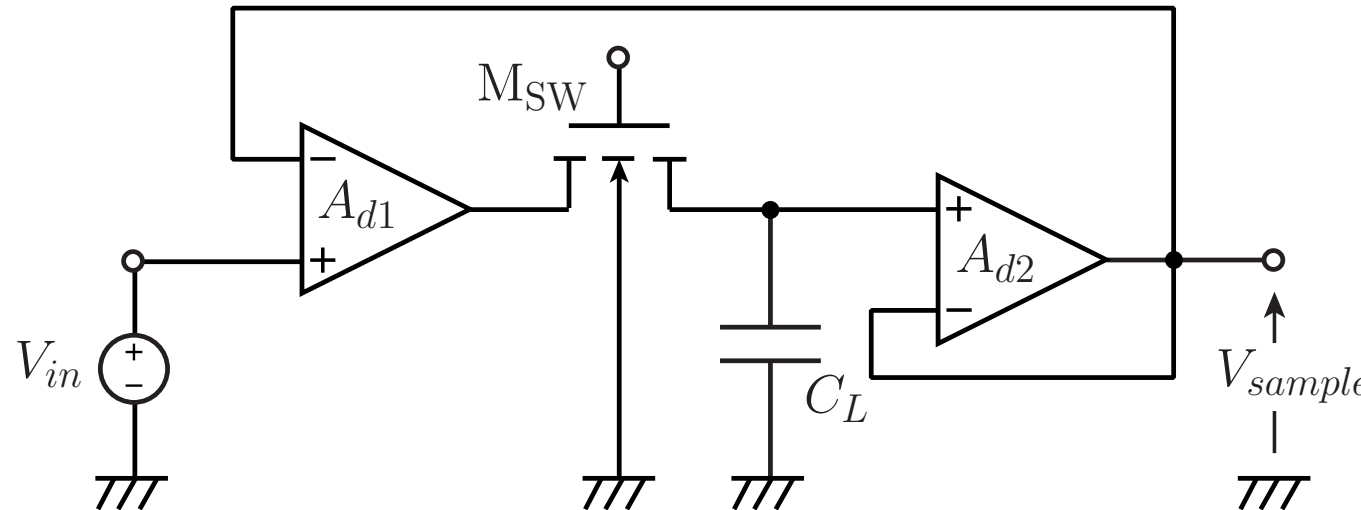
R_{SW} : 許容できるスイッチ M_{SW} の面積からの下限値

C_L の増加



回路的な改善

改良した標本化回路



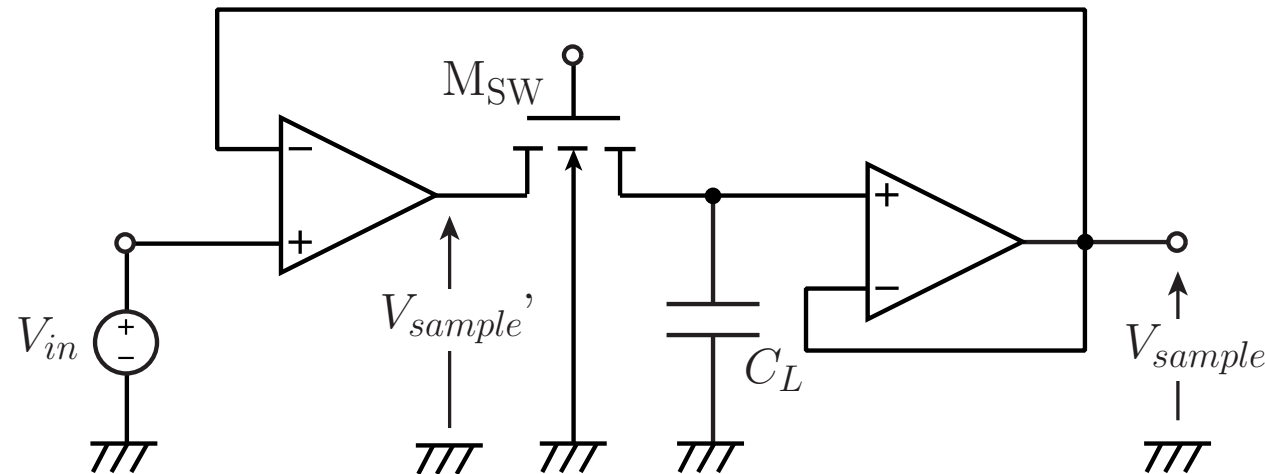
標本化回路(2)

t_{hold} 秒後の V_{sample}

$$V_{sample} = \frac{A_{d1}A_{d2}}{1+A_{d2}+A_{d1}A_{d2}} \left[1 - \exp \left\{ \frac{-(1+A_{d2}+A_{d1}A_{d2})t_{hold}}{(1+A_{d2})C_L R_{SW}} \right\} \right] E$$

$$C_L R_{SW} \rightarrow (1+A_{d2})C_L R_{SW} / (1+A_{d2}+A_{d1}A_{d2})$$

改良した標本化回路の問題点

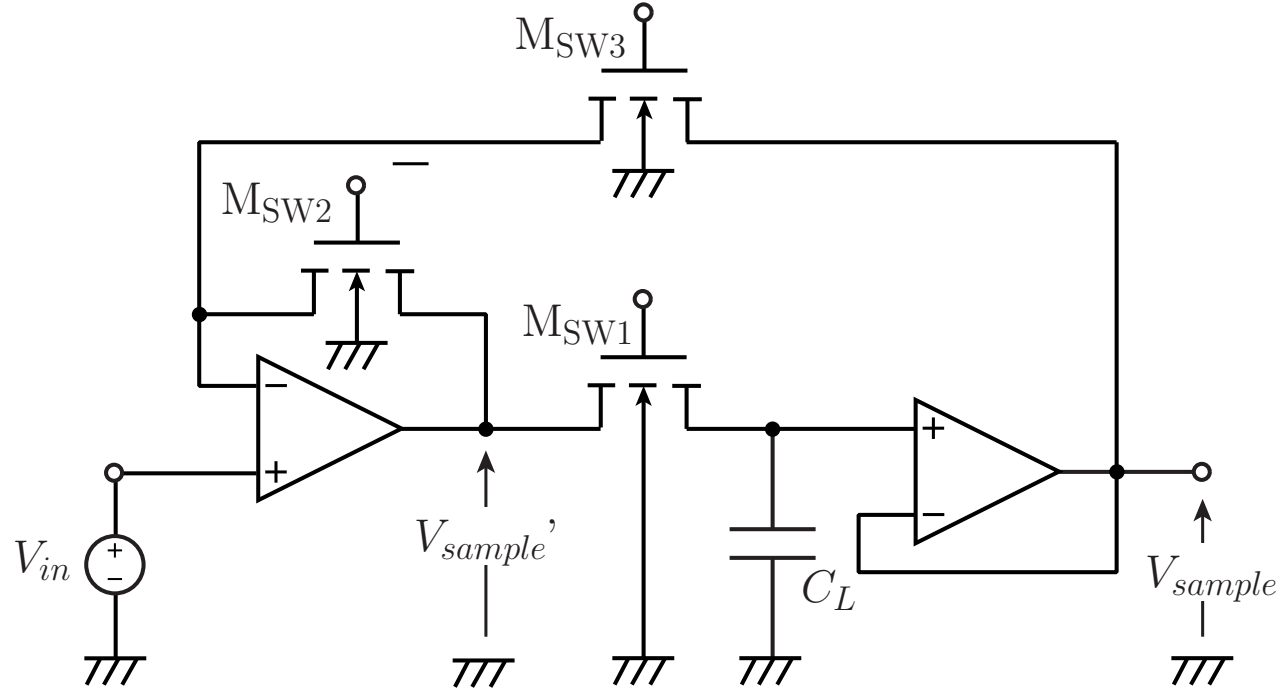


$V_{sample}' = V_{DD}$ または $-V_{SS}$



V_{sample}' が V_{in} になるまでの時間が大

さらに改良した標本化回路



標本化回路(3)

$$V_{sample}' = V_{in}$$

D-A変換器の構成

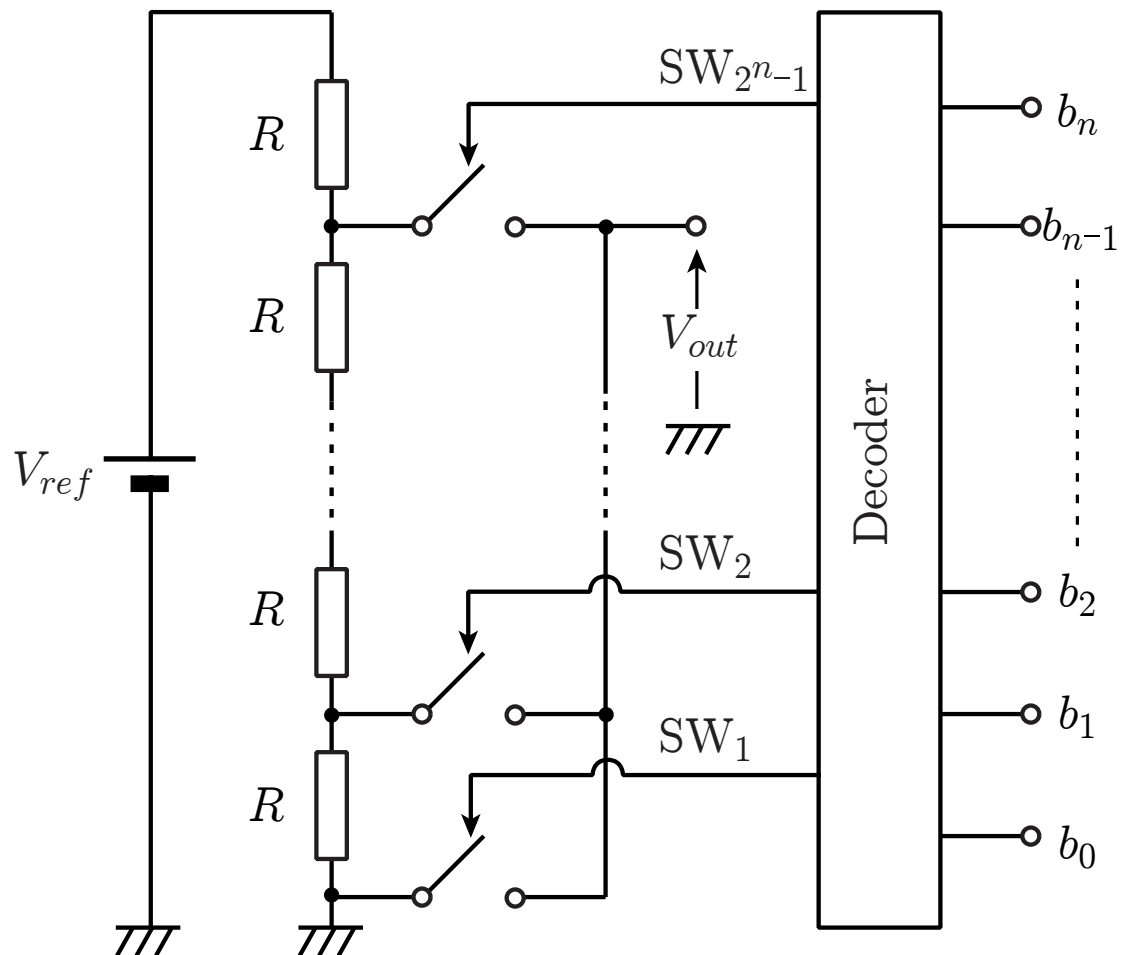
抵抗切り替え型構成

電流源切り替え型

容量切り替え型

その他

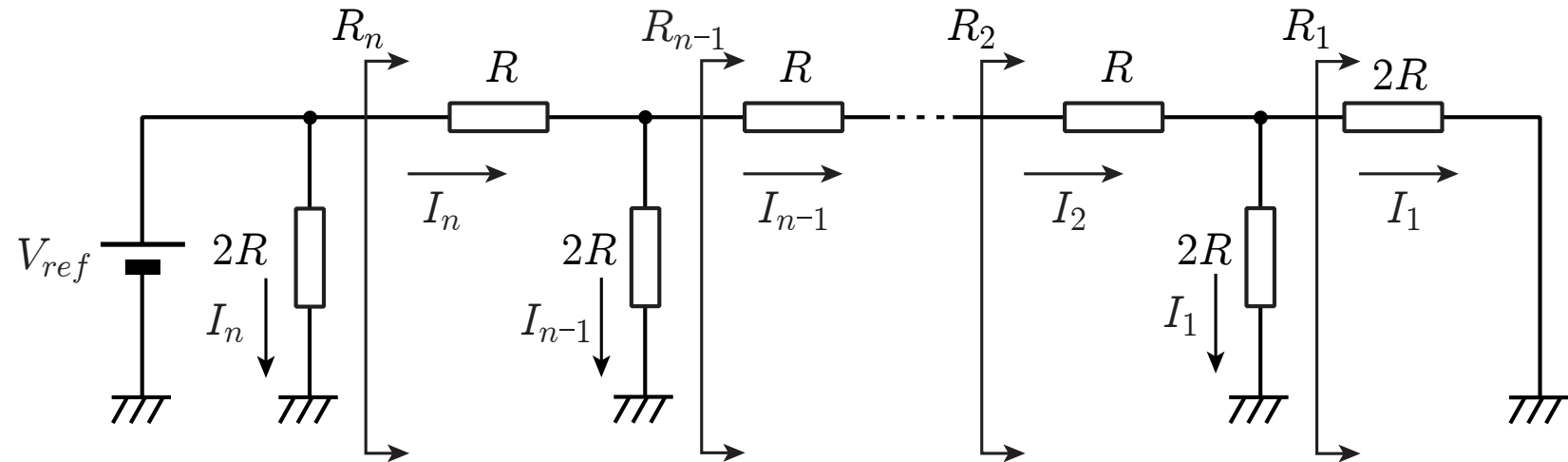
抵抗ストリング構成



$$V_{out} = \frac{i}{2^n} V_{ref} \quad (i = 0 \text{ to } 2^{n-1} + 1)$$

抵抗の面積: $(2^n - 1)R$

R-2R型構成



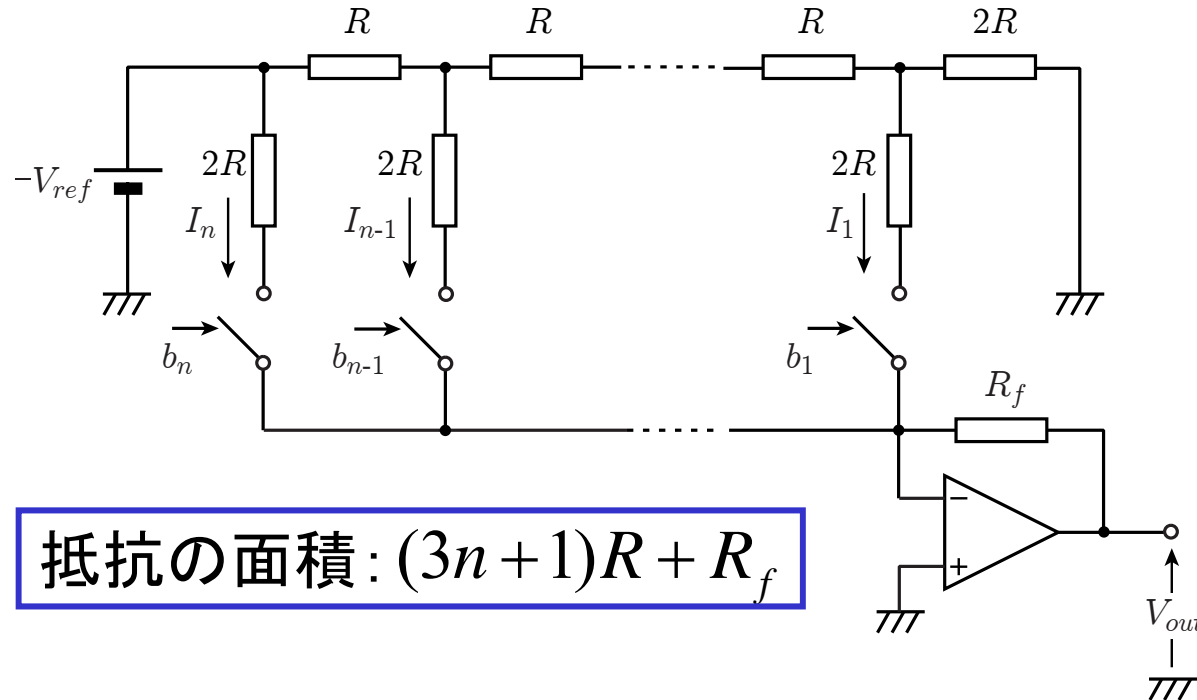
$$R_i=2R \quad (i=1 \text{ to } n)$$



$$I_{i-1}=\frac{1}{2}I_i \quad (i=2 \text{ to } n)$$

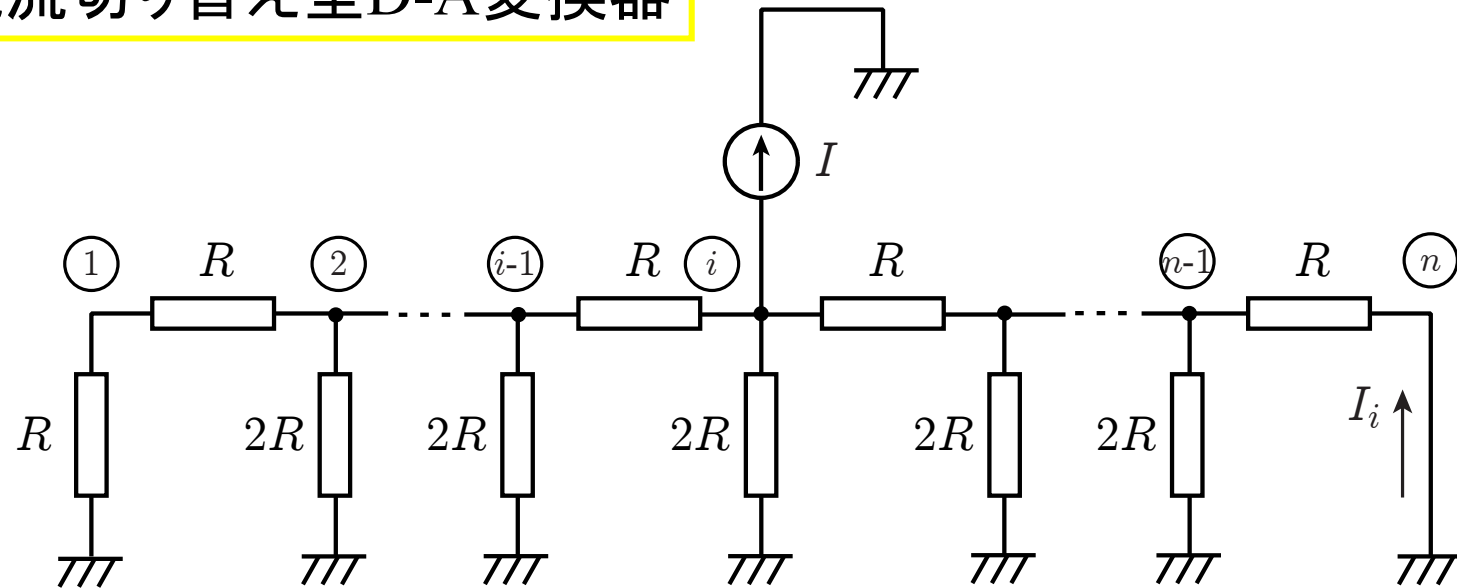
$$I_n=\frac{V_{ref}}{2R}$$

$$V_{quantize} = (b_n \times 2^{n-1} + b_{n-1} \times 2^{n-2} + \dots + b_2 \times 2 + b_1) \Delta$$

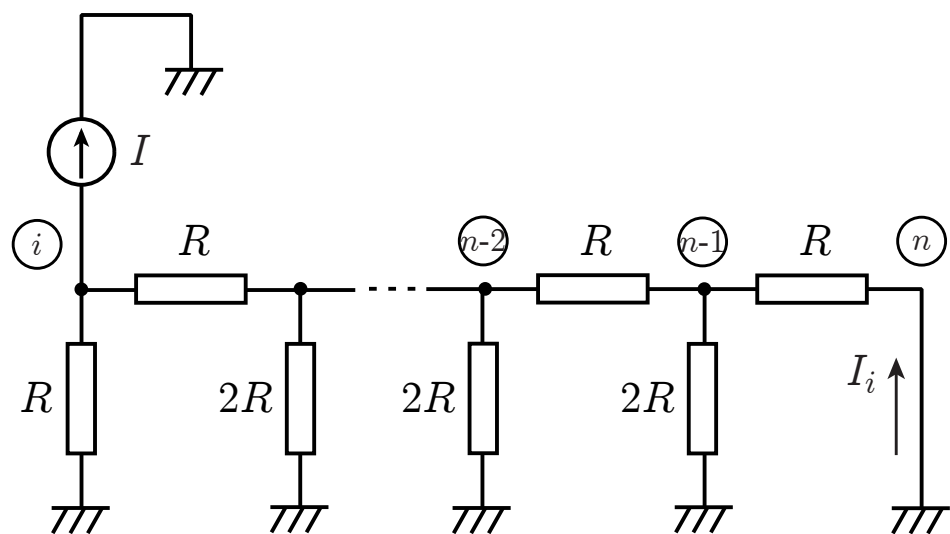


$$\begin{aligned}
 V_{out} &= -(b_n \times I_n + b_{n-1} \times I_{n-1} + \dots + b_2 \times I_2 + b_1 \times I_1) R_f \\
 &= -(b_n \times I_n + b_{n-1} \times 2^{-1} I_n + \dots + b_2 \times 2^{-(n-2)} I_n + b_1 \times 2^{-(n-1)} I_n) R_f \\
 &= (b_n + b_{n-1} \times 2^{-1} + \dots + b_2 \times 2^{-(n-2)} + b_1 \times 2^{-(n-1)}) \frac{R_f}{2R} V_{ref} \\
 &= (b_n \times 2^{n-1} + b_{n-1} \times 2^{n-2} + \dots + b_2 \times 2 + b_1) \frac{R_f}{2^n R} V_{ref}
 \end{aligned}$$

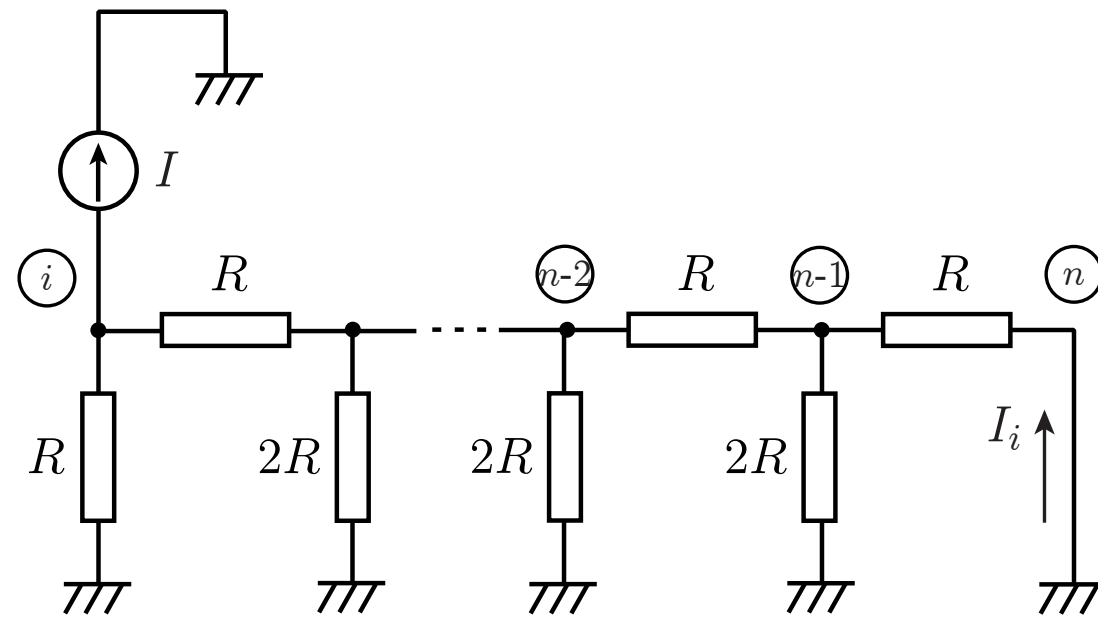
電流切り替え型D-A変換器



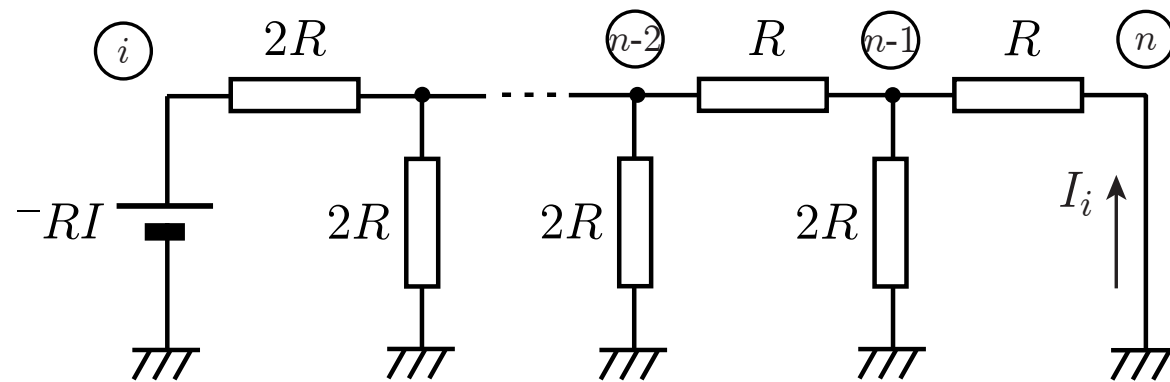
(a)



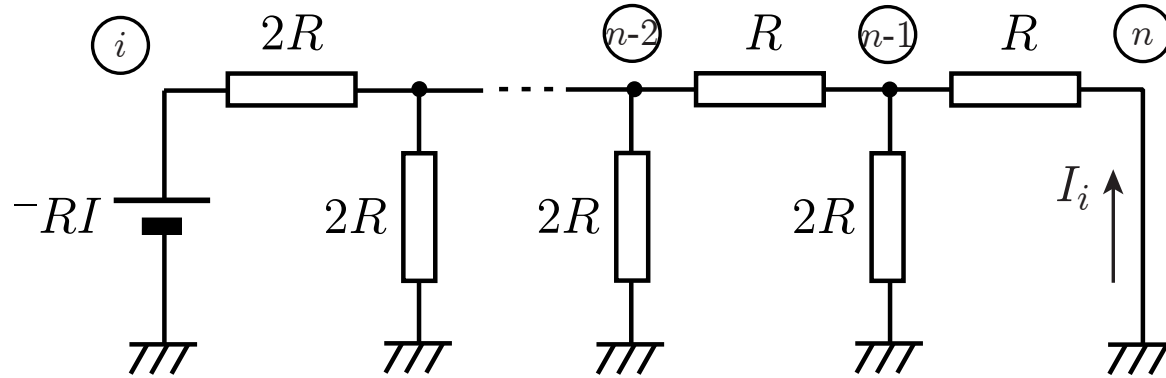
(b)



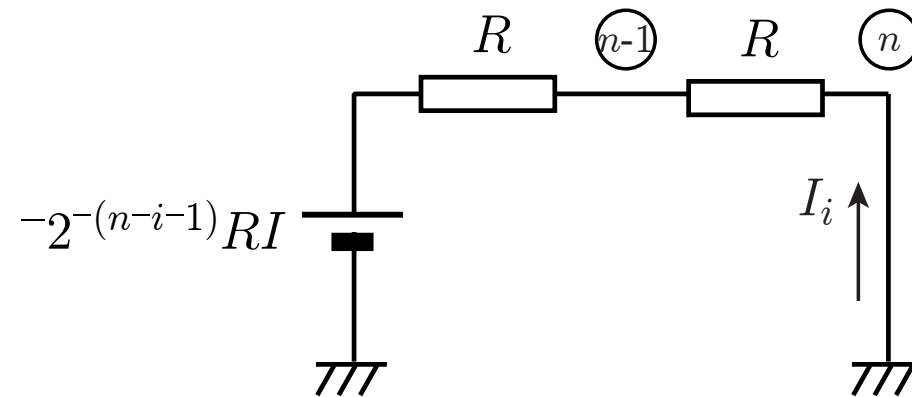
(b)



(c)



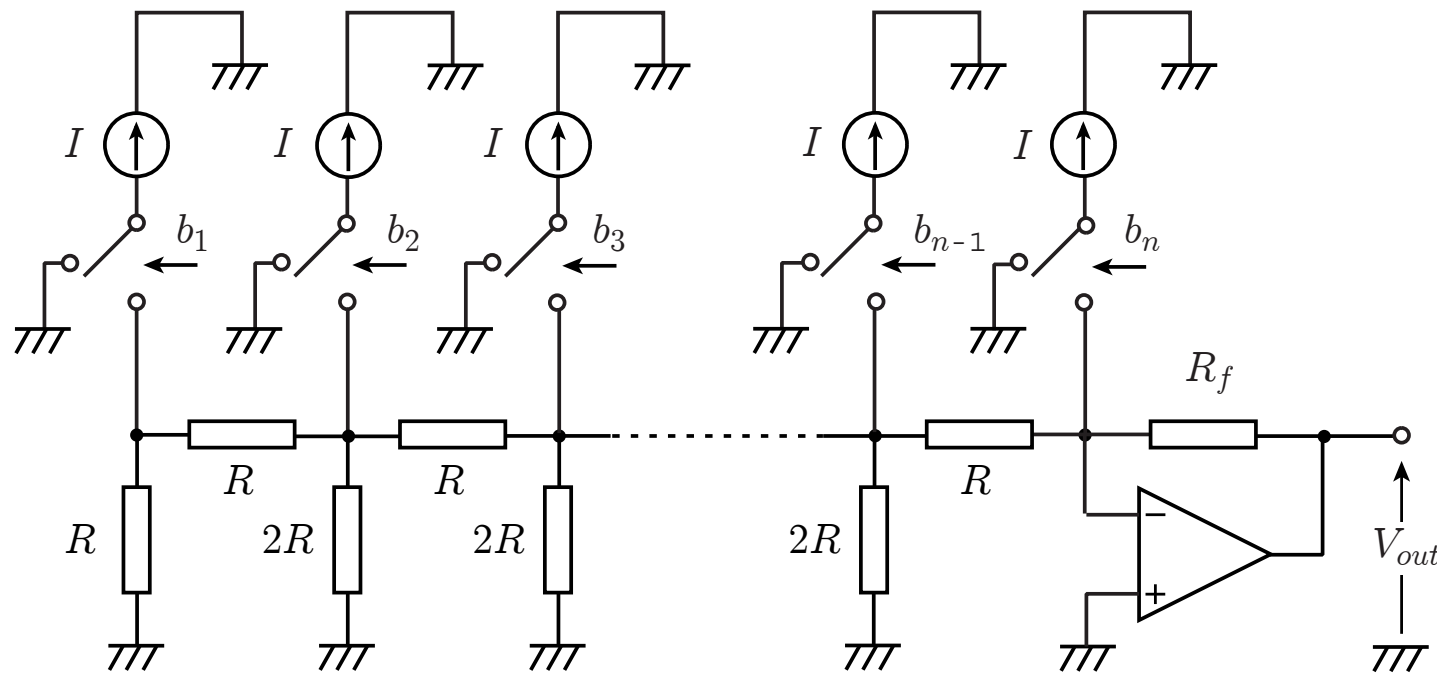
(c)



(d)

$$I_n = \frac{V_{ref}}{2R} \text{ とすると}$$

$$I_i = 2^{-(n-i)} \frac{V_{ref}}{R} \quad (i=1 \text{ to } n)$$

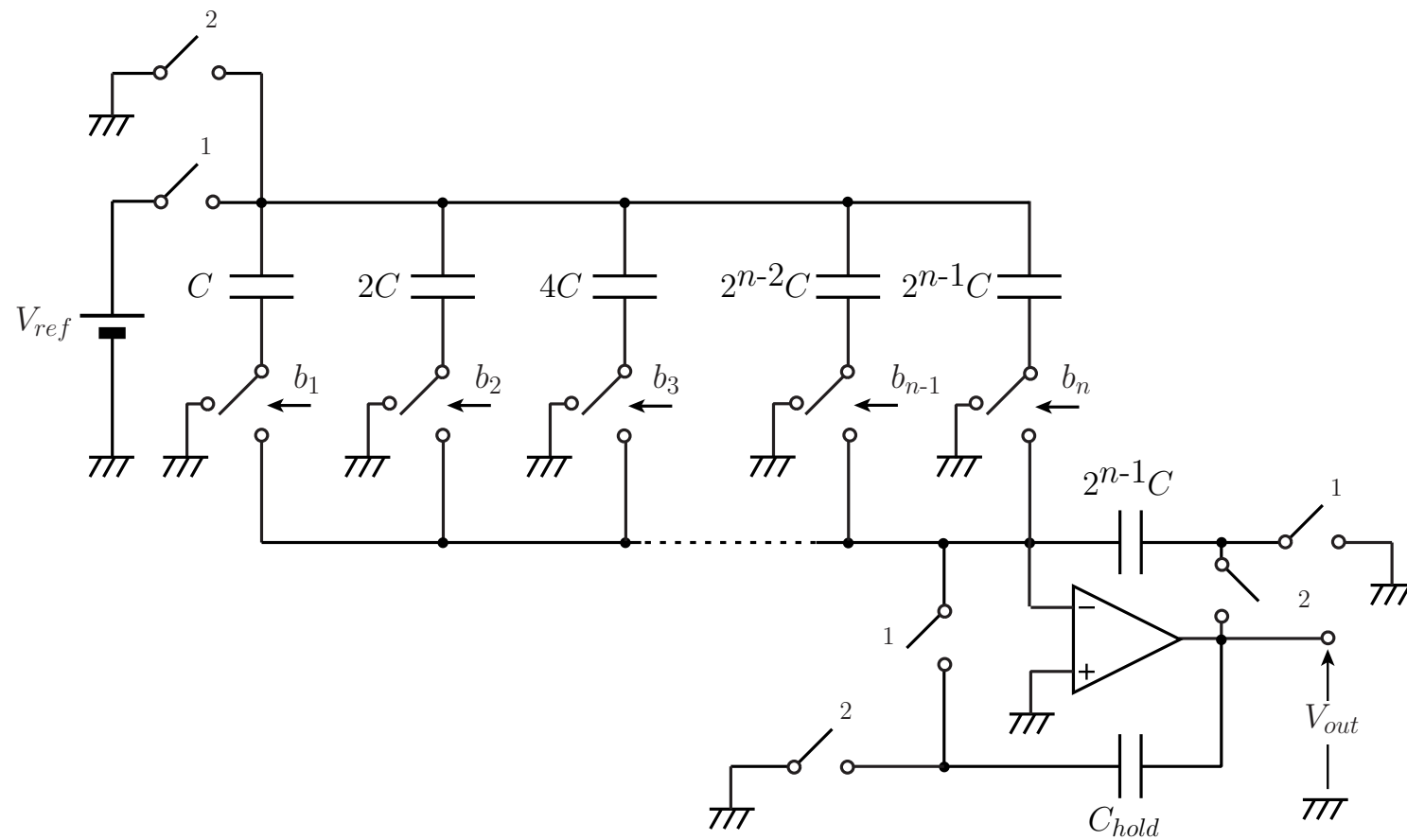


$$V_{out} = (b_n \times 2^{n-1} + b_{n-1} \times 2^{n-2} + \cdots + b_2 \times 2 + b_1) \frac{R_f}{2^{n-1} R} V_{ref}$$

抵抗の面積: $(3n - 1)R + R_f$

スイッチによる電圧降下の影響を受けない

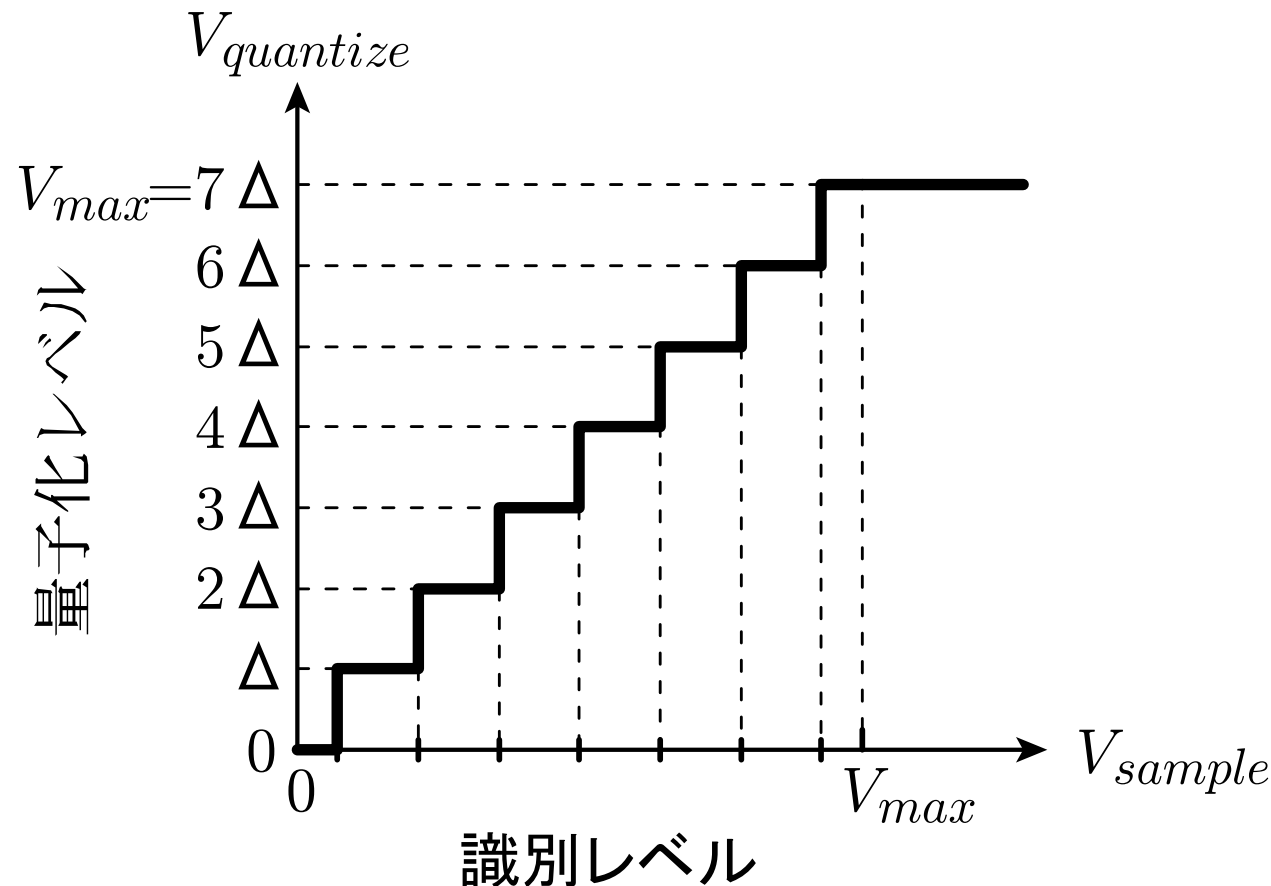
容量切り替え型



スイッチの電圧降下による誤差

MOSプロセスにより容易に実現

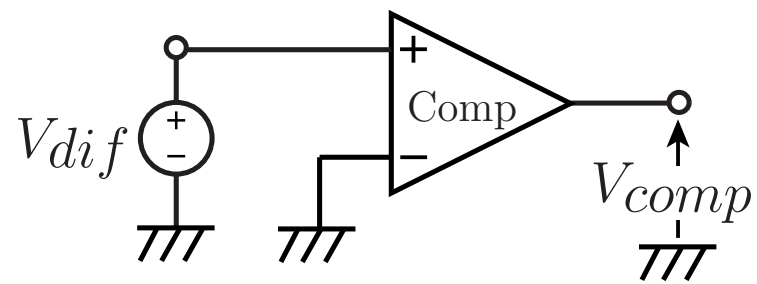
A-D変換器の構成



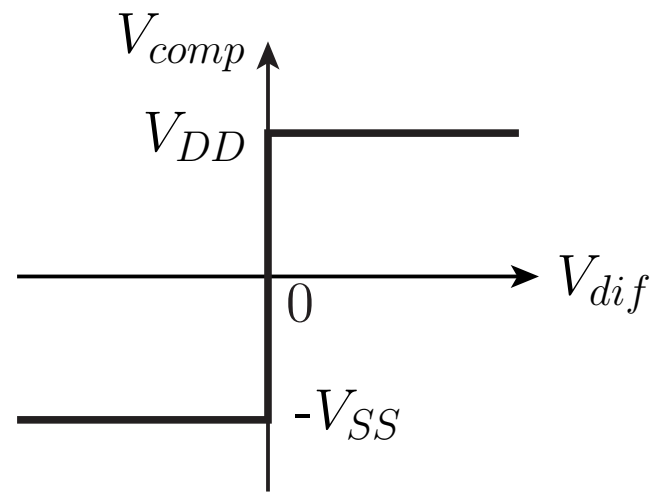
標本値を量子化→比較

比較器の構成

比較器の記号と理想特性

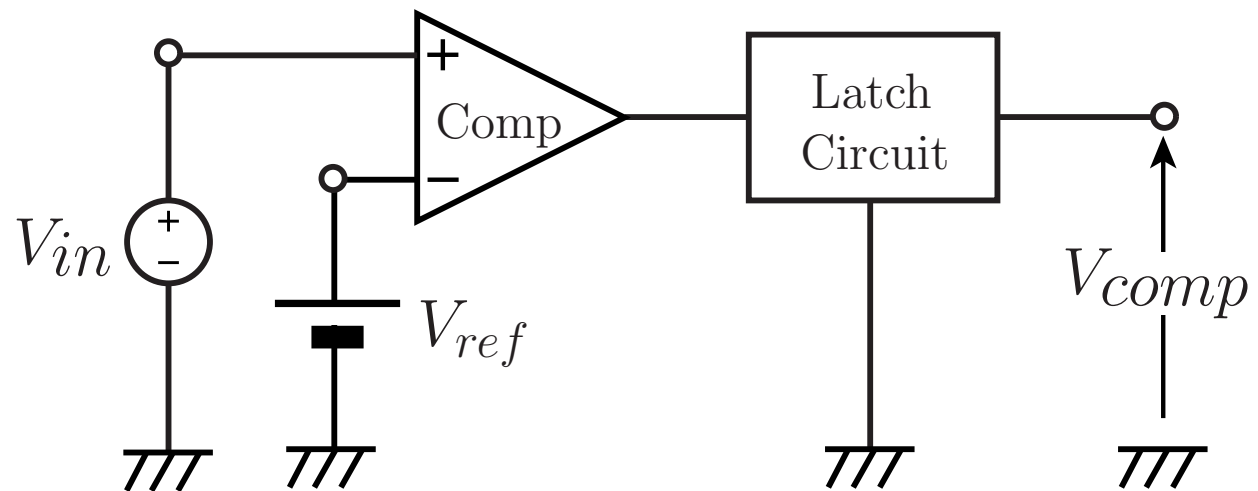


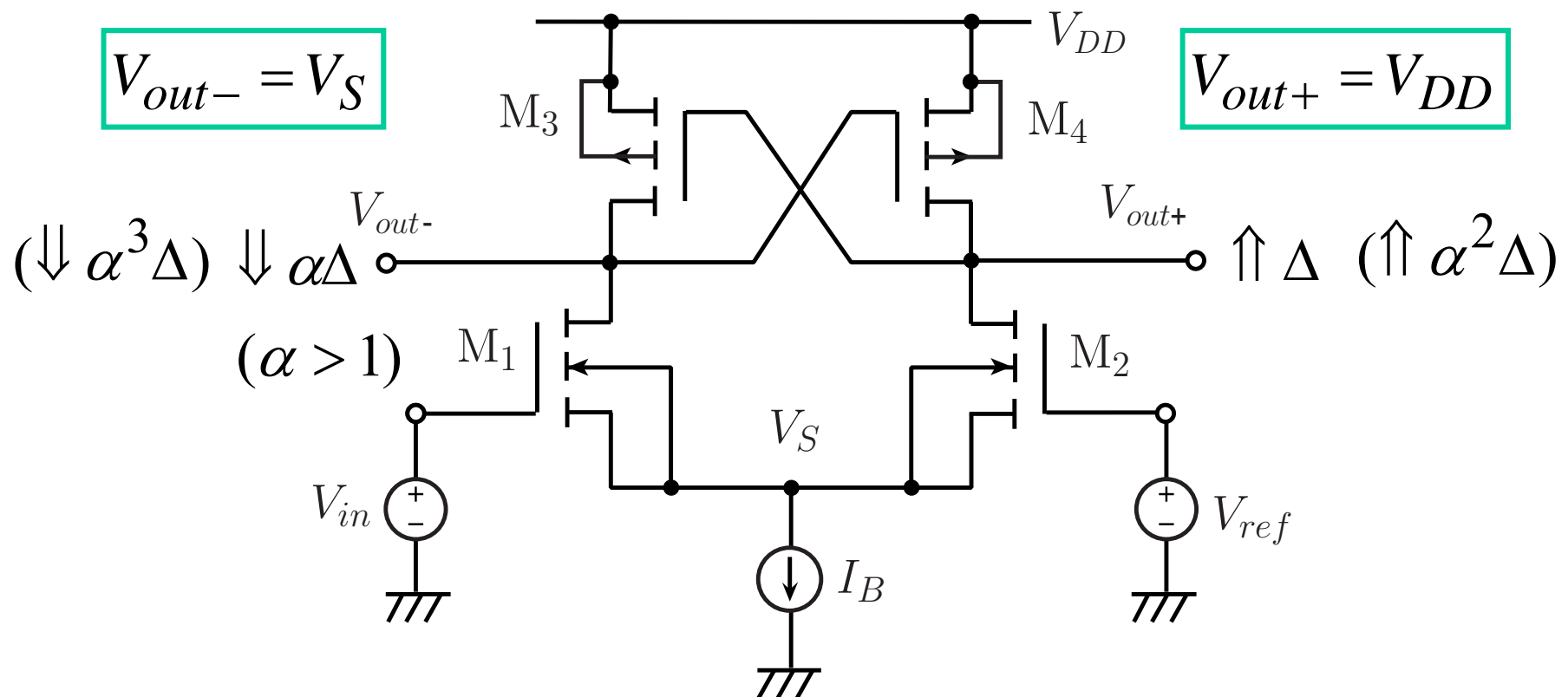
(a)



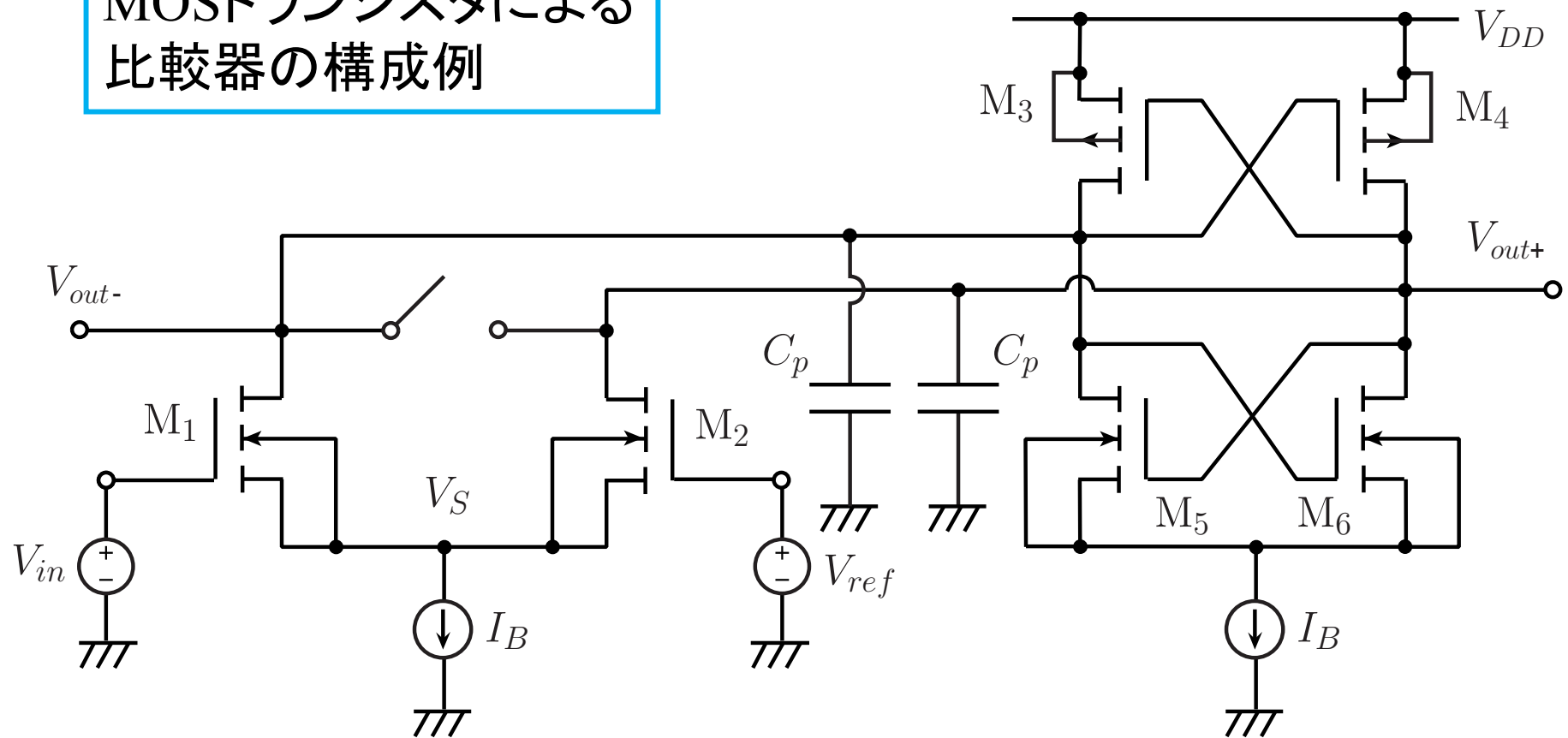
(b)

比較器の動作原理

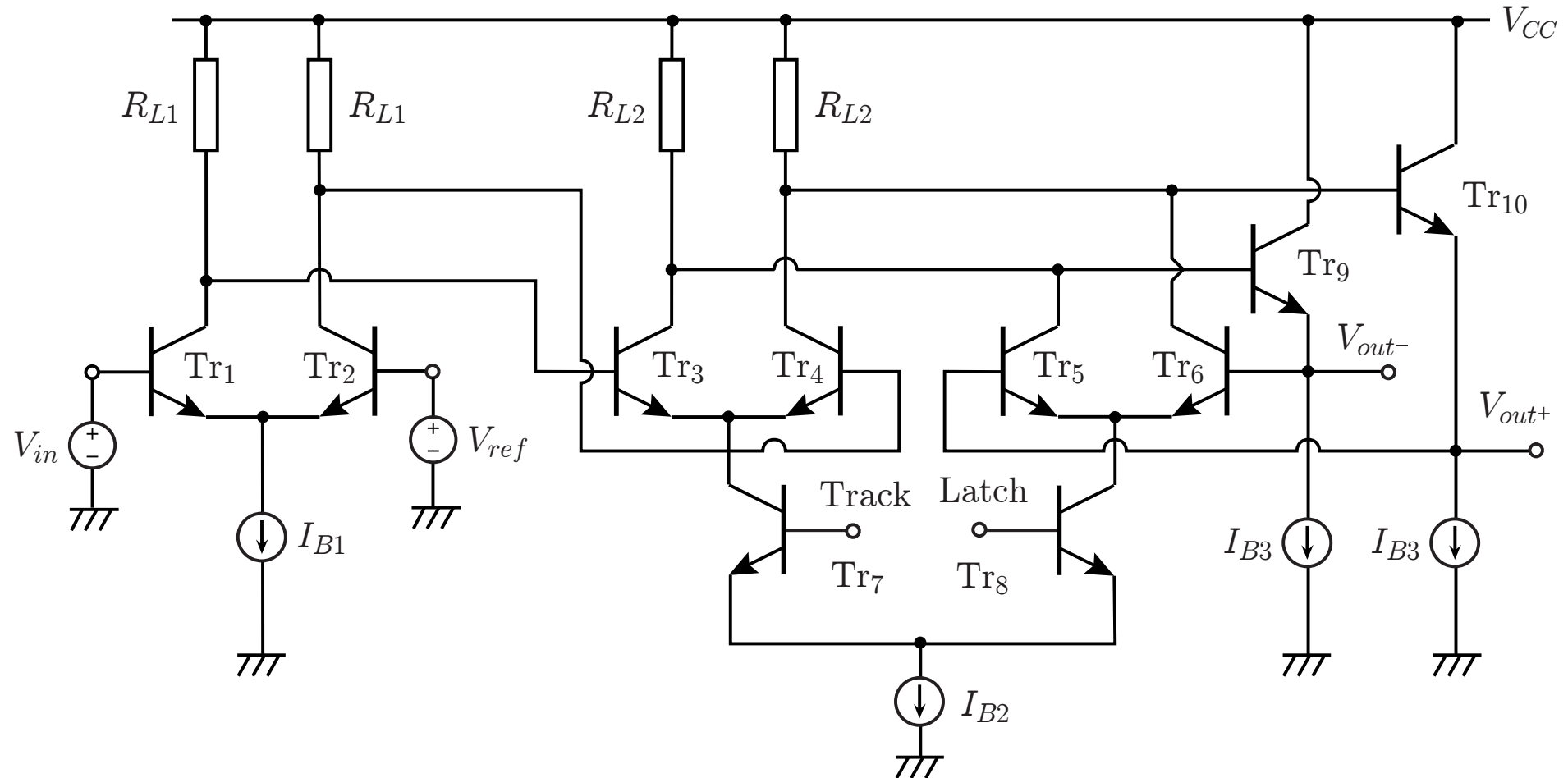




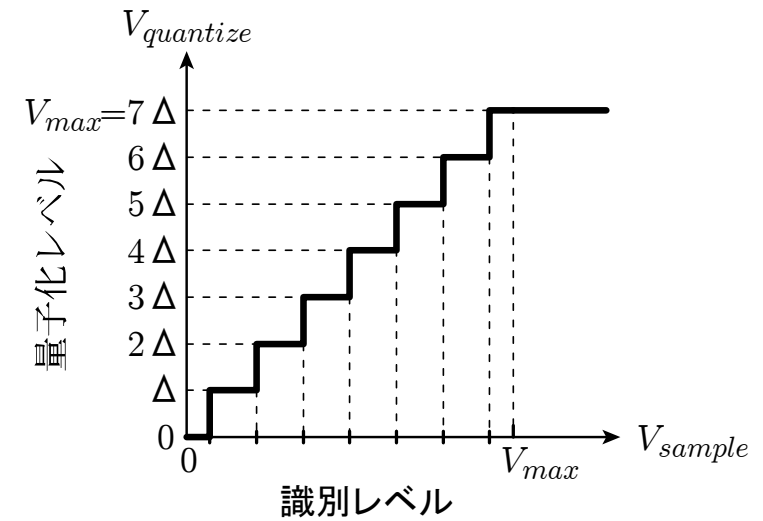
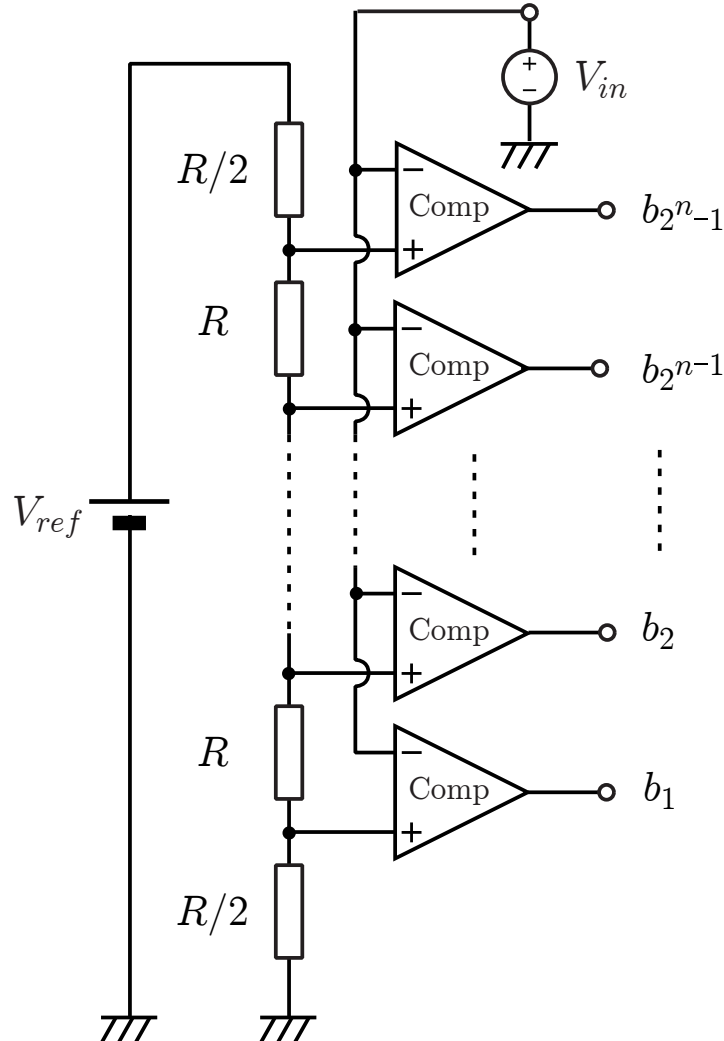
MOSトランジスタによる 比較器の構成例



バイポーラトランジスタによる 比較器の構成例



フラッシュ型構成



サーモメータコード

高速動作

素子数の指数的増加

グリッチ

0111 → 1000

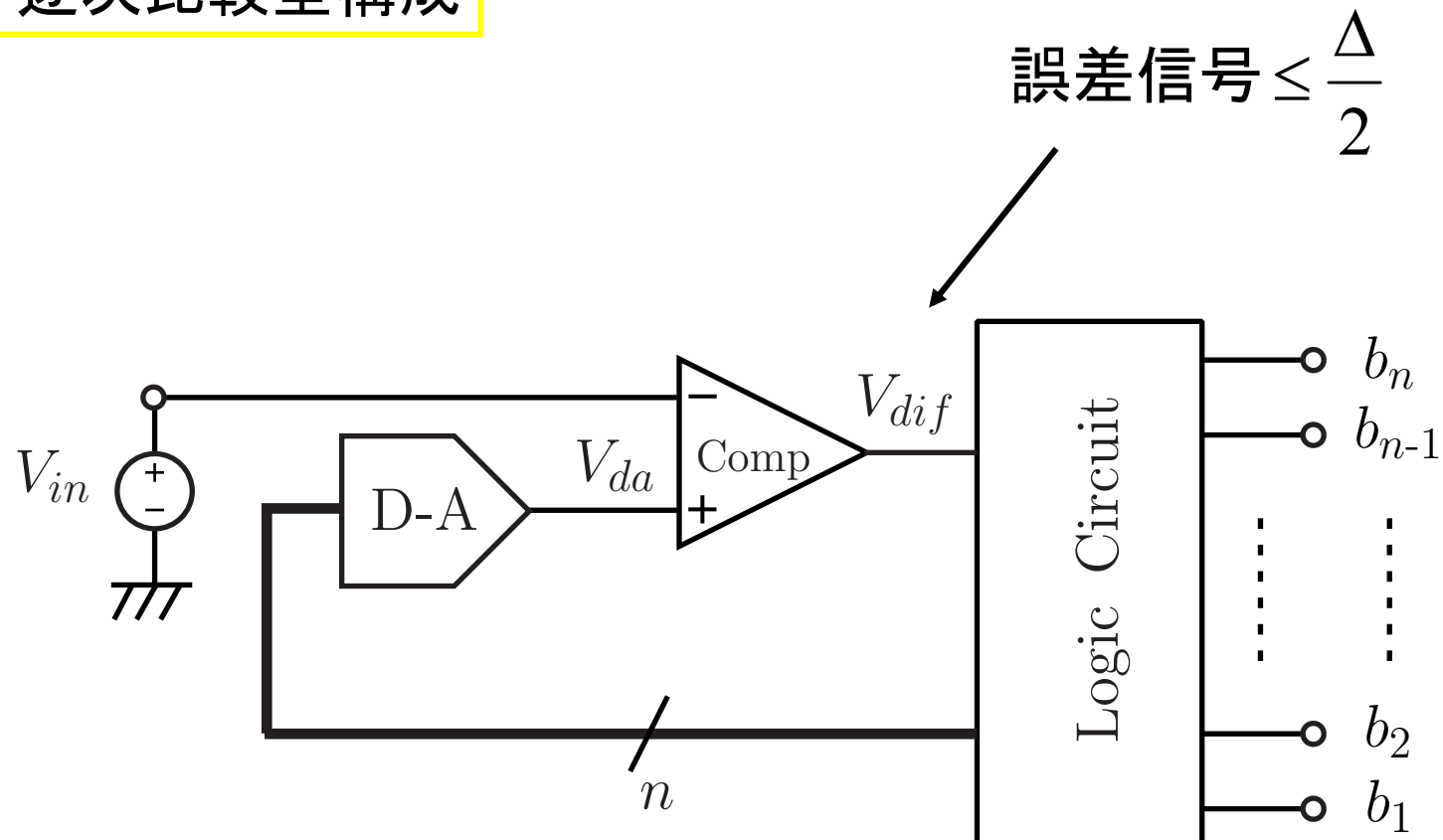


2進数

サーモメータコード

0111 → 000000001111111

逐次比較型構成



誤差信号 $\leq \frac{\Delta}{2}$

Logic Circuit

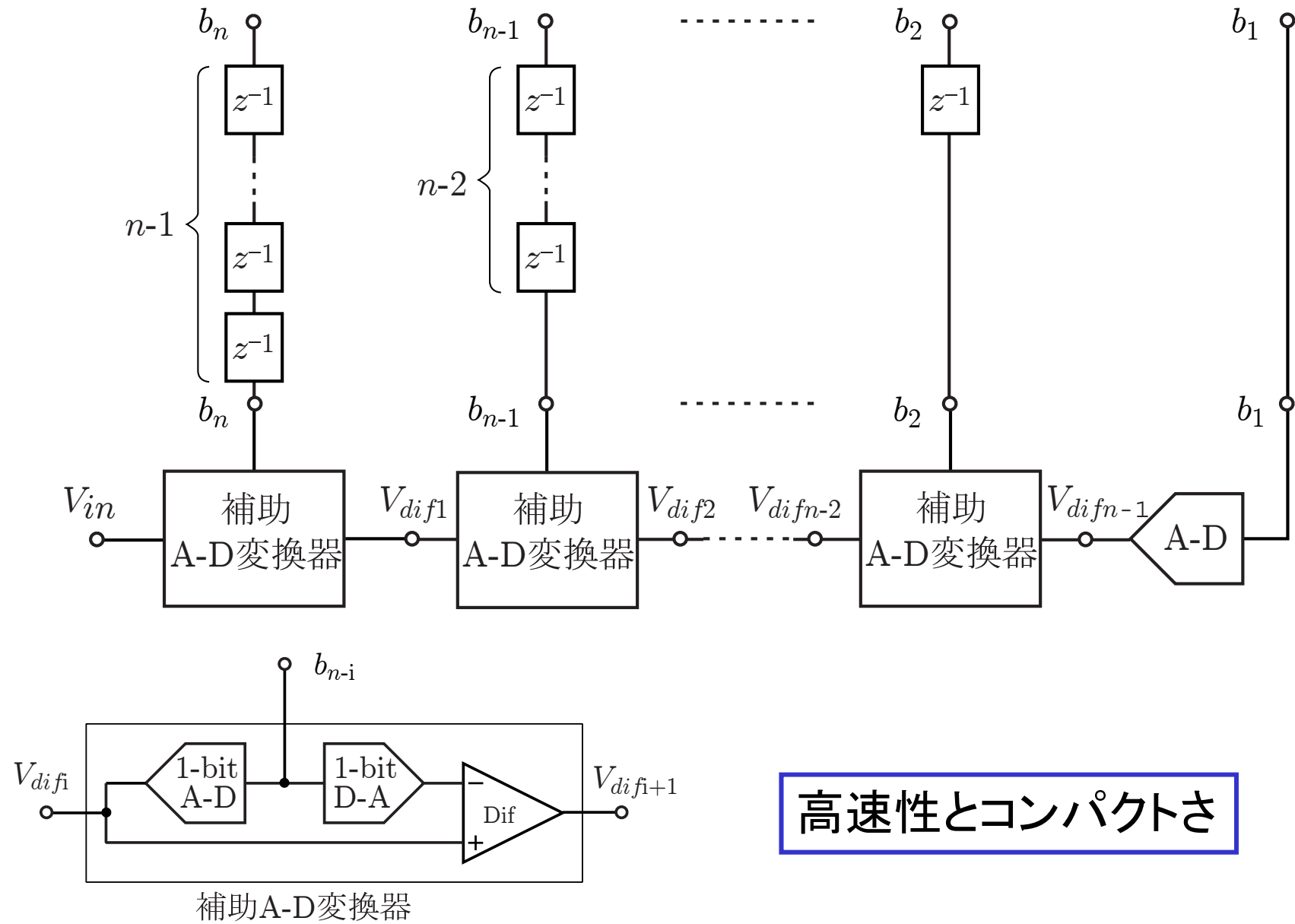
b_n
 b_{n-1}
⋮
 b_2
 b_1

低速動作

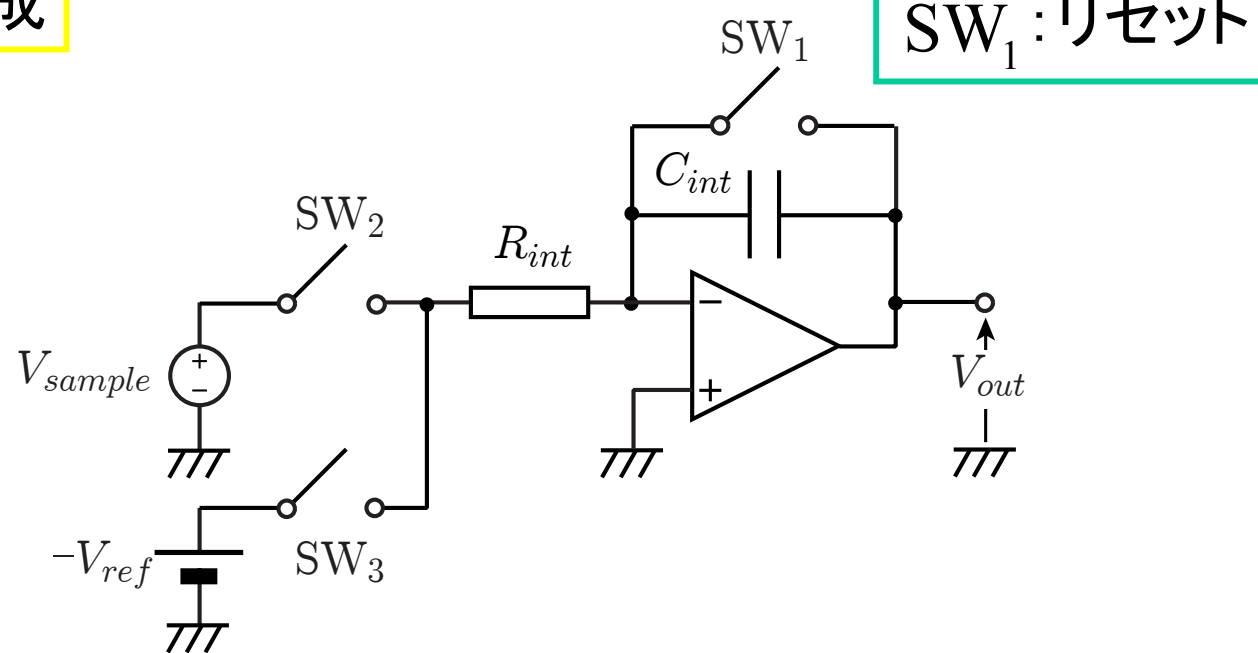
n ビットのバス

素子数のゆるやかな増加

パイプライン型A-D変換器



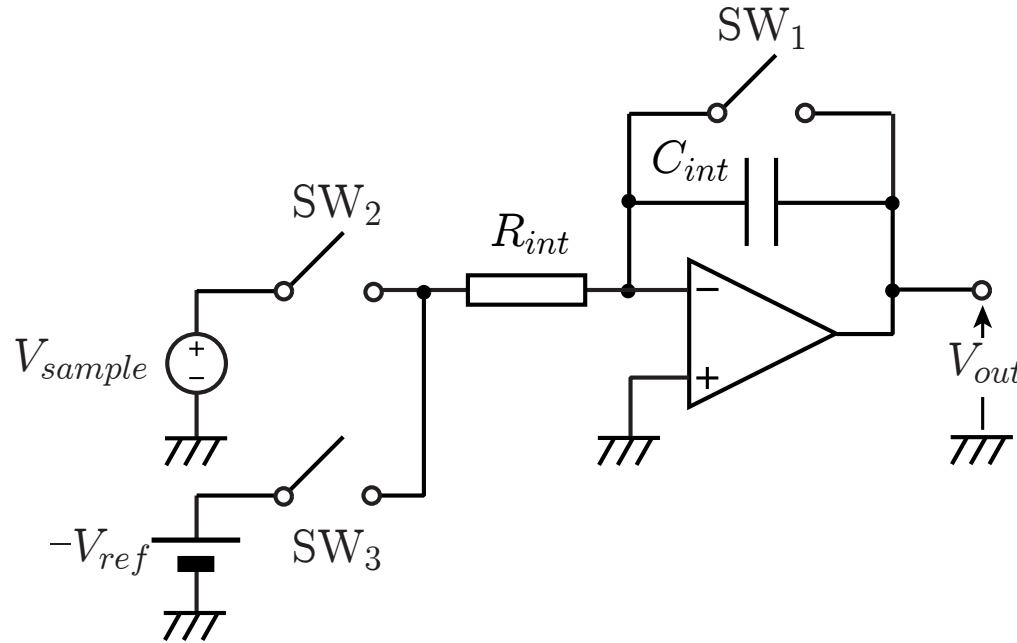
積分型構成



SW_1 : リセット

SW_2 : サンプリング

$$\begin{aligned} V_{out} &= - \int_0^{T_{conv}} \frac{1}{C_{int}} \cdot \frac{V_{sample}}{R_{int}} dt \\ &= - \frac{T_{conv} V_{sample}}{C_{int} R_{int}} \end{aligned}$$



SW₃ : 放電&計測

$$\begin{aligned}
 V_{out} &= \frac{T_{conv} V_{sample}}{C_{int} R_{int}} \int_{T_{conv}}^t \frac{1}{C_{int}} \cdot \frac{-V_{ref}}{R_{int}} dt \\
 &= \frac{T_{conv} V_{sample}}{C_{int} R_{int}} + \frac{V_{ref}}{C_{int} R_{int}} t
 \end{aligned}$$

$$V_{out} = -\frac{T_{conv} V_{sample}}{C_{int} R_{int}} + \frac{V_{ref}}{C_{int} R_{int}} t_{crit} = 0$$



コンパレータの出力反転により検知

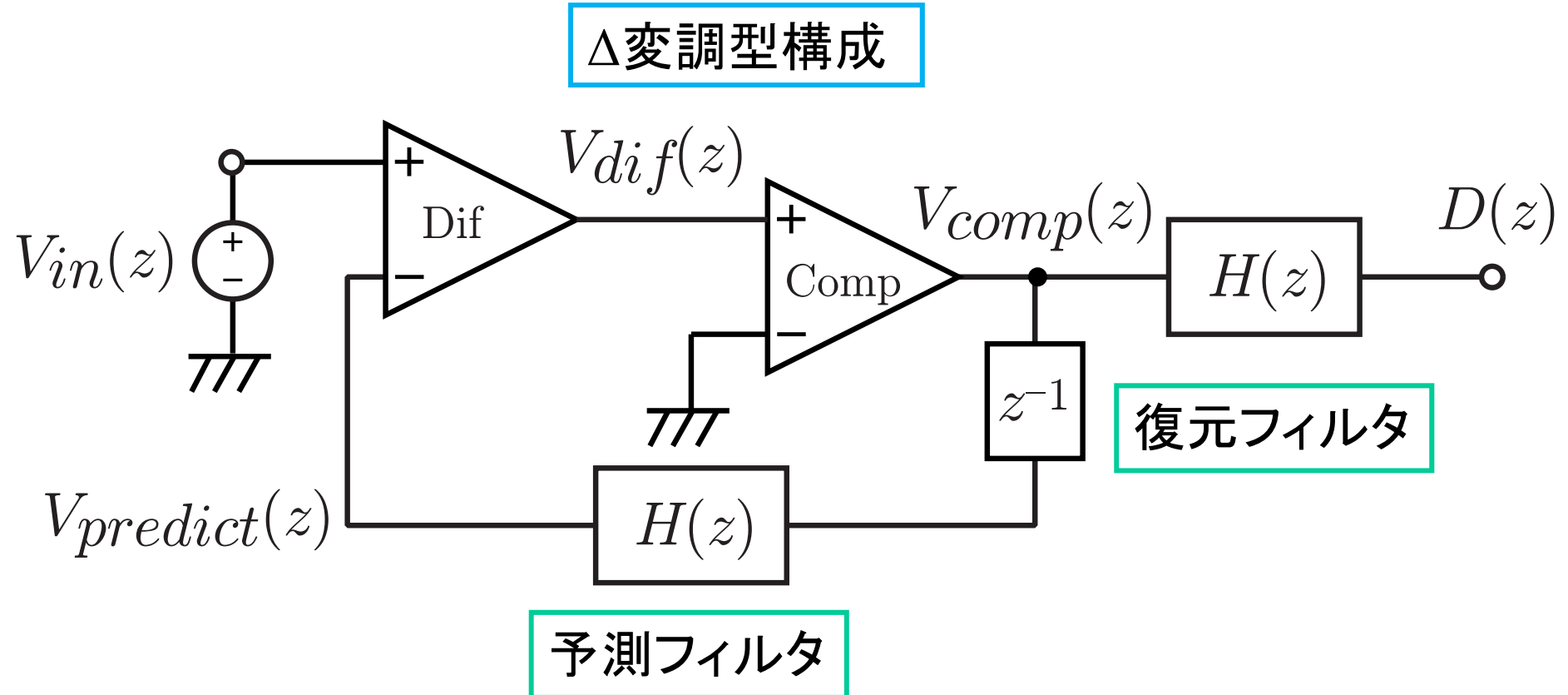
$$V_{sample} = \frac{t_{crit}}{T_{conv}} V_{ref}$$

精度 = 時間測定の正確さ



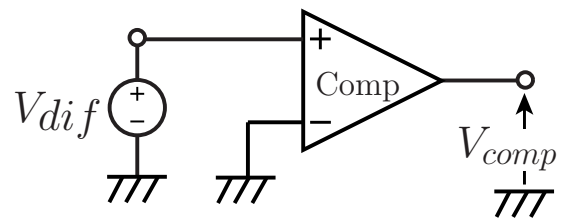
高精度

Δ-Σ変調型構成

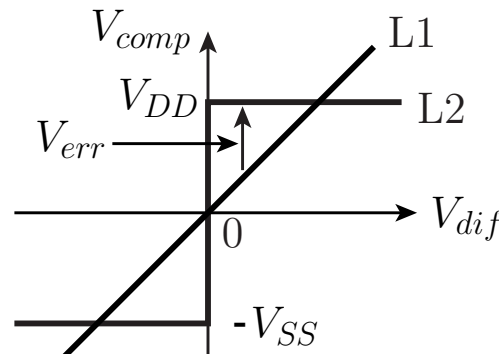


$V_{dif}(z) = V_{in}(z) - V_{predict}(z)$ により次の $V_{in}(z)$ を予測

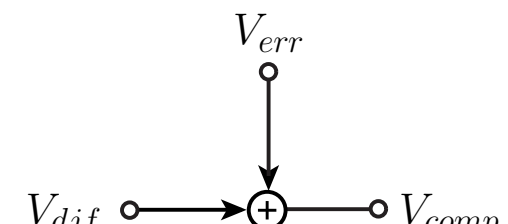
比較器のモデリング



(a)

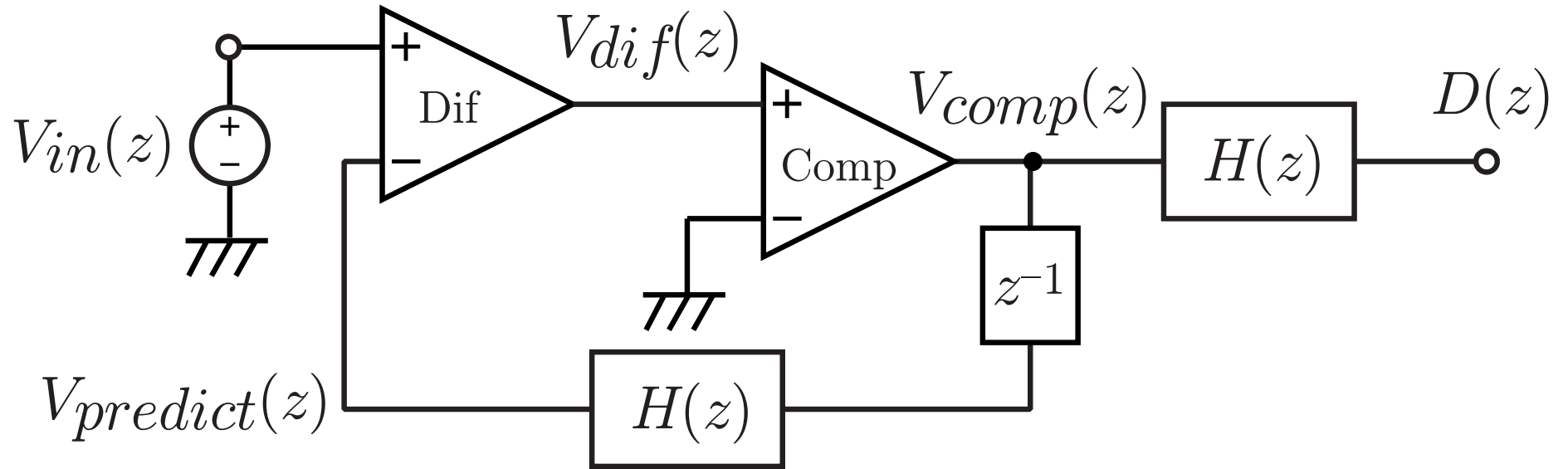


(b)



(c)

コンパレータ: 非線形素子 → 線形素子 + 雑音

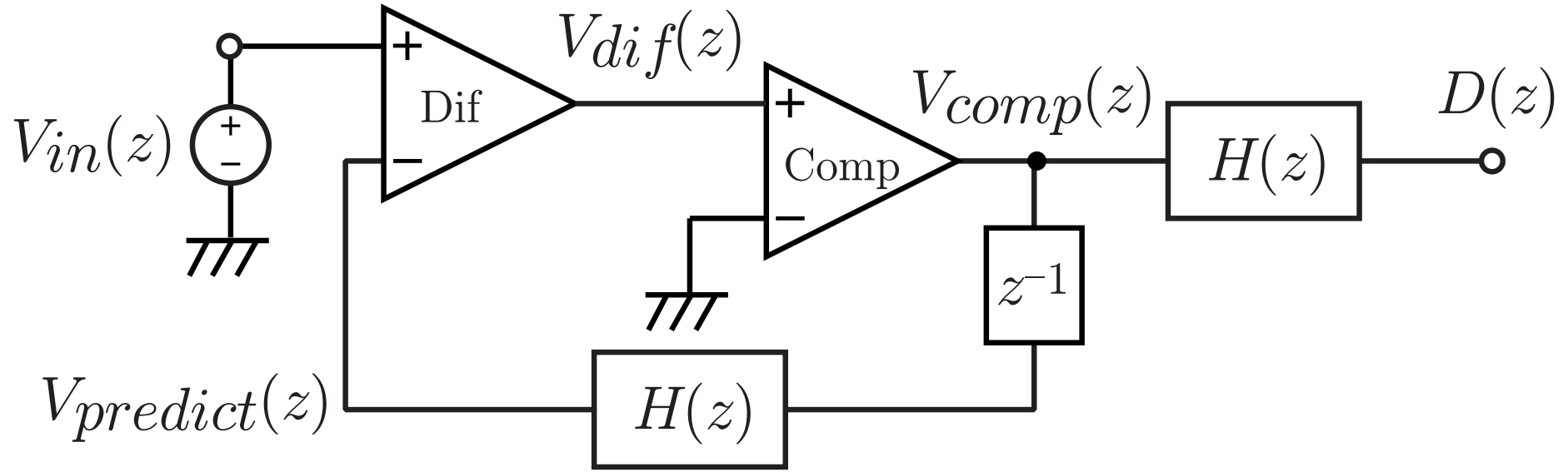


$$V_{comp}(z) = V_{dif}(z) + V_{err}(z)$$

$$= V_{in}(z) - V_{predict}(z) + V_{err}(z)$$

$$= V_{in}(z) - z^{-1}H(z)V_{comp}(z) + V_{err}(z)$$

$$V_{comp}(z) = \frac{V_{in}(z) + V_{err}(z)}{1 + z^{-1}H(z)}$$



$$V_{comp}(z) = \frac{V_{in}(z) + V_{err}(z)}{1 + z^{-1}H(z)}$$

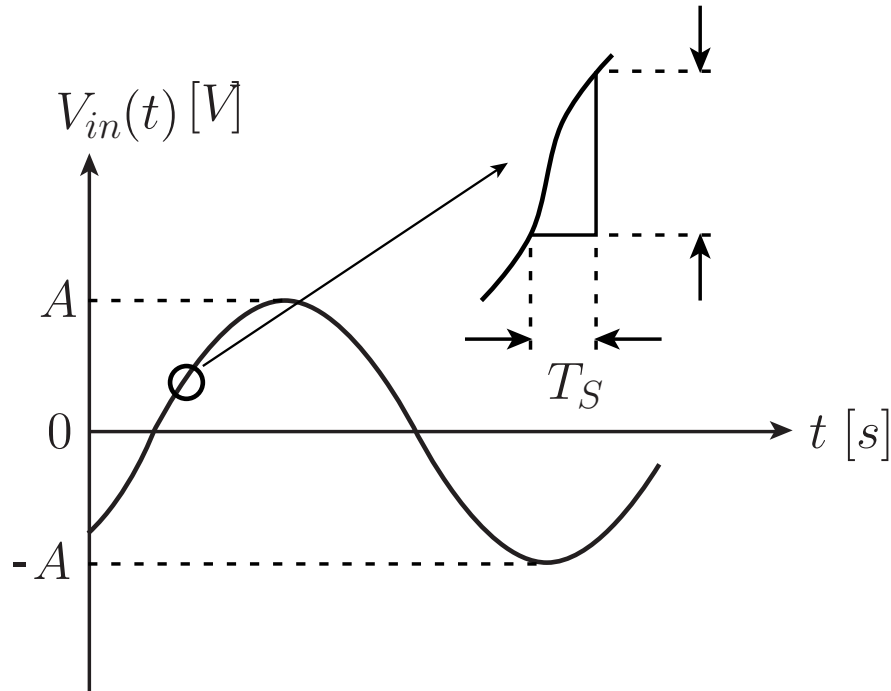
→ $D(z) = H(z)V_{comp}(z)$

$$H(z) = \frac{1}{1 - z^{-1}}$$

$$\begin{aligned}
 &= \frac{1}{1 - z^{-1}} \cdot \frac{V_{in}(z) + V_{err}(z)}{1 + z^{-1} \frac{1}{1 - z^{-1}}} \\
 &= V_{in}(z) + V_{err}(z)
 \end{aligned}$$

傾斜負荷

$$V_{in}(t) = A \sin(2\pi f_{max} t + \theta)$$



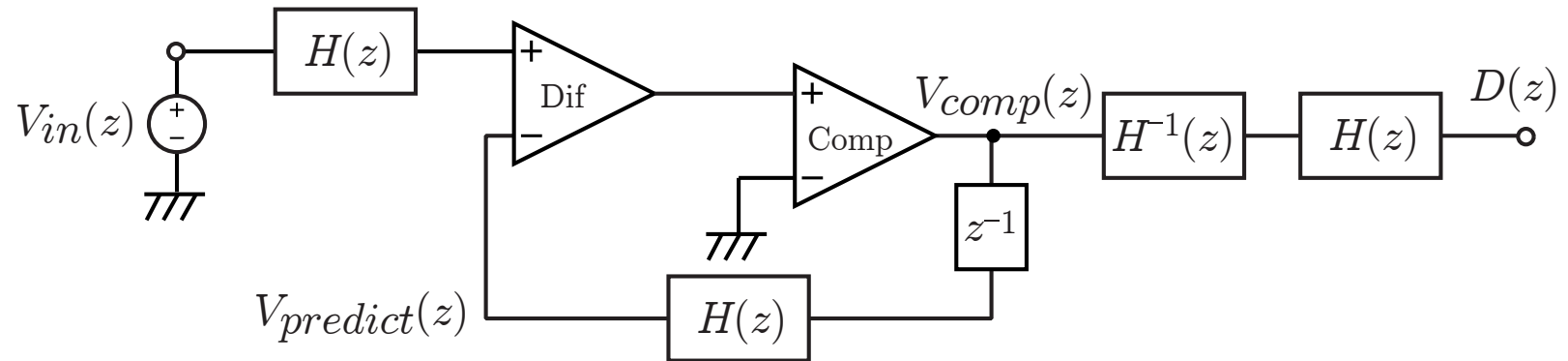
f_{max} :最大信号周波数

Δ :比較器の出力変化幅

T_s :サンプリング間隔

$$\max \left[\frac{dV_{in}(t)}{dt} \right] = \left. \frac{dV_{in}(t)}{dt} \right|_{V_{in}(t)=0} = 2\pi f_{max} A \leq \frac{\Delta}{T_s}$$

Δ-Σ変調型構成の原理



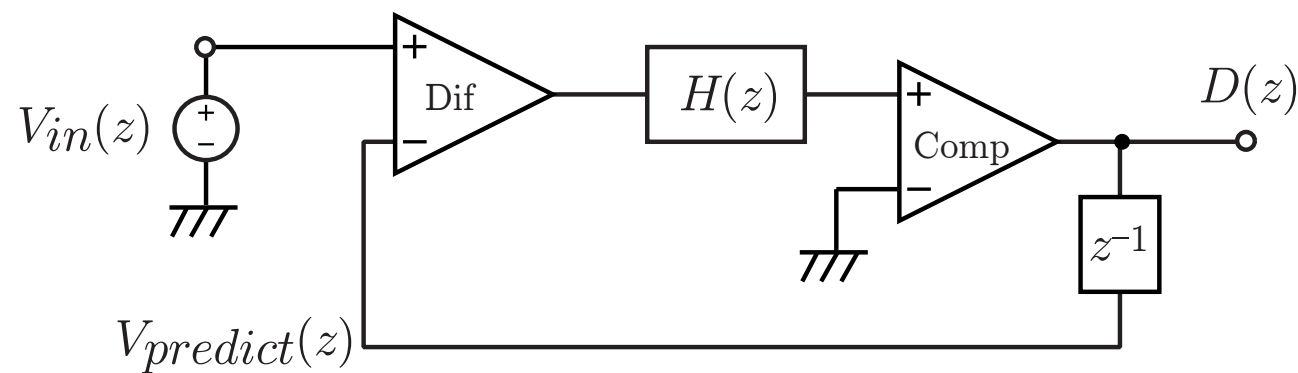
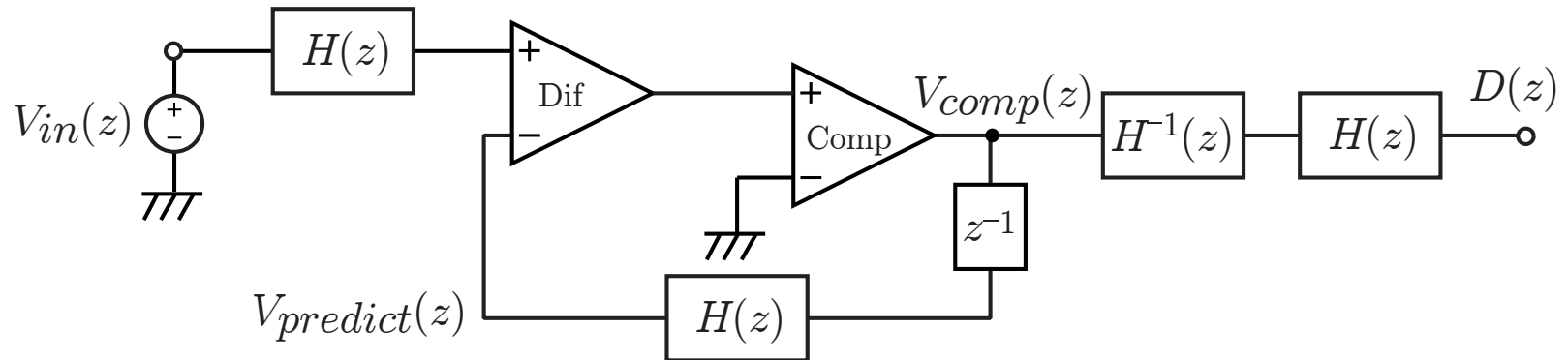
$$V_{in}(t) = A \sin(2\pi f_{max} t + \theta)$$

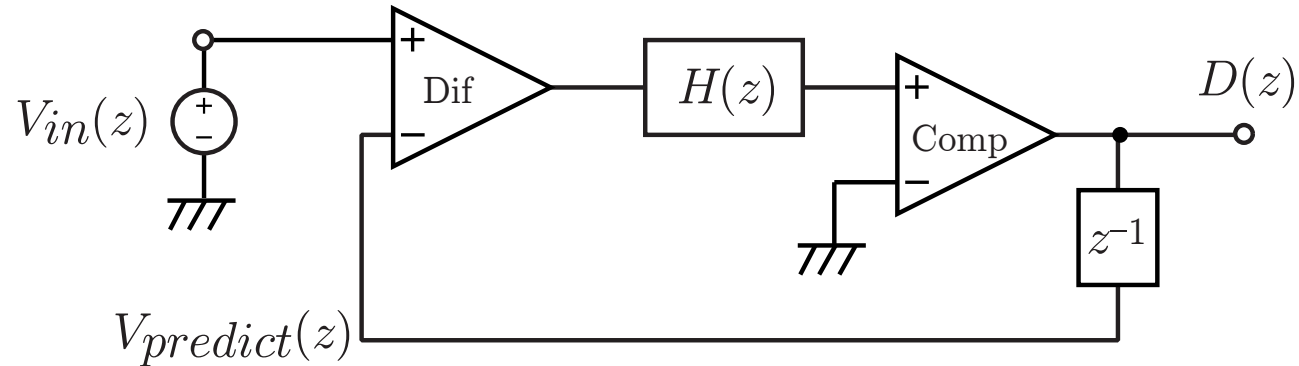
$H(z)$: 積分回路

$$V_{out}(t) = \frac{-A}{2\pi f_{max}} \cos(2\pi f_{max} t + \theta)$$

最大傾斜 : $\max \left[\frac{dV_{out}(t)}{dt} \right] = A$

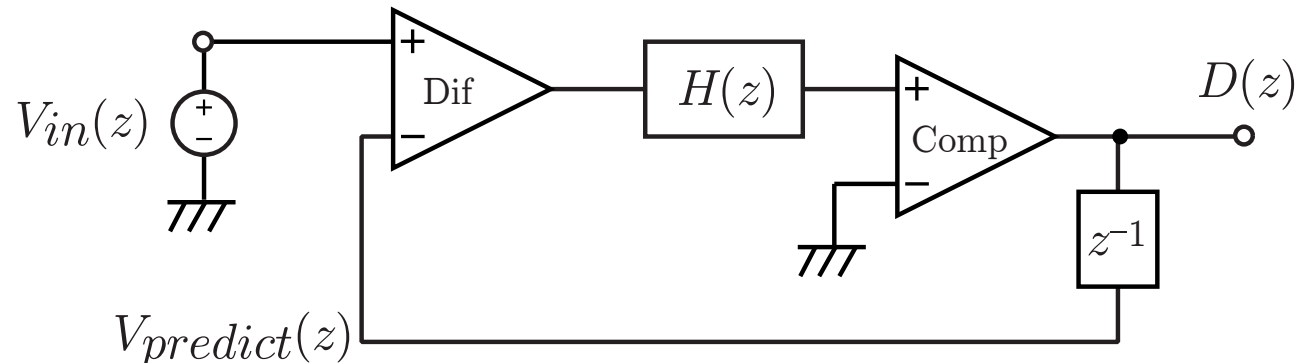
Δ-Σ変調型構成の簡略化





$$\begin{aligned}
 D(z) &= V_{comp}(z) \\
 &= H(z) \{ V_{in}(z) - V_{predict}(z) \} + V_{err}(z) \\
 &= H(z) V_{in}(z) - z^{-1} H(z) D(z) + V_{err}(z)
 \end{aligned}$$

$$D(z) = \frac{H(z) V_{in}(z) + V_{err}(z)}{1 + z^{-1} H(z)}$$



Δ - Σ 変調

$$D(z) = \frac{H(z)V_{in}(z) + V_{err}(z)}{1+z^{-1}H(z)}$$

Δ 変調

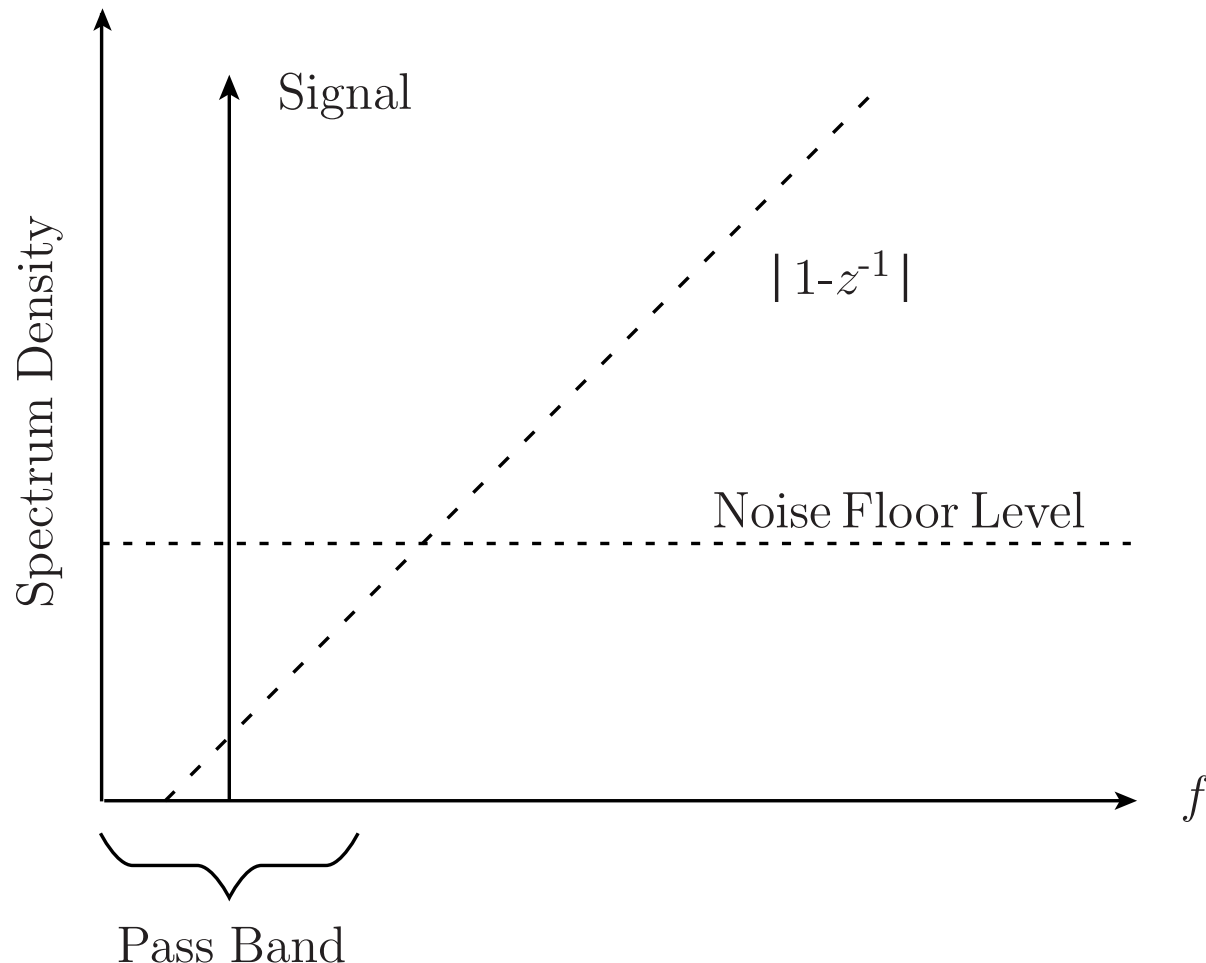
$$D(z) = H(z) \frac{V_{in}(z) + V_{err}(z)}{1+z^{-1}H(z)}$$

$$H(z) = \frac{1}{1-z^{-1}}$$

$$\frac{1}{1-z^{-1}}V_{in}(z) + V_{err}(z)$$

$$D(z) = \frac{1-z^{-1}}{1+z^{-1}\frac{1}{1-z^{-1}}} = V_{in}(z) + (1-z^{-1})V_{err}(z)$$

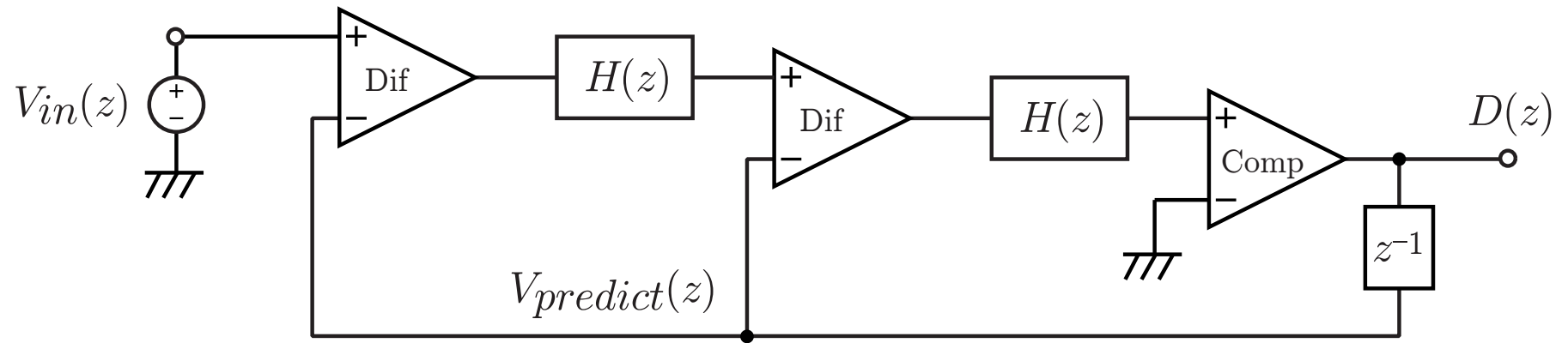
$$D(z) = V_{in}(z) + (1 - z^{-1})V_{err}(z)$$



帯域内雑音の低減

高次 Δ - Σ 変調型構成

高次=不安定!?



$$D(z) = \frac{H^2(z)V_{in}(z) + V_{err}(z)}{1+z^{-1}H(z)+z^{-1}H^2(z)}$$

$$H(z) = \frac{1}{1-z^{-1}}$$

$$D(z) = V_{in}(z) + (1-z^{-1})^2 V_{err}(z)$$